

รายงานวิจัยฉบับสมบูรณ์

โครงการ

การศึกษาคุณสมบัติและหน้าที่ของโมโนโคลนอล แอนติบอดีย์ ต่อโปรตีนบนผิวเซลล์คอนโดรไซย์

โดย

รศ.ดร.ปรัชญา คงทวีเลิศ

รายงานวิจัยฉบับสมบูรณ์

โครงการ

การศึกษาคุณสมบัติและหน้าที่ของโมโนโคลนอล แอนติบอดีย์ ต่อโปรตีนบนผิวเซลล์คอนโดรไซย์

รศ.ดร.ปรัชญา คงทวีเลิศ ภาควิชาชีวเคมี คณะแพทยศาสตร์ มหาวิทยาลัยเชียใหม่

สนับสนุนโดยสำนักงานกองทุนสนับสนุนการวิจัย

(ความเห็นในรายงานนี้เป็นของผู้วิจัย สกว.ไม่จำเป็นต้องเห็นด้วยเสมอไป)

Abstract

Project Code: BRG5180012

Project Title: Characterization of monoclonal antibodies against human

chondrocyte surface antigens

Investigator: Mr. Prachya Kongtawelert, Chiang Mai University

E-mail Address: prachya.kongtawelert@gmail.com

Project Period: 3 years

Chondrocytes express a number of cell-surface molecules that mediate cell-cell or cell-matrix interactions. Identification and full characterization of new chondrocyte surface molecules will lead to a better understanding of the function of the chondrocyte. Researchers used primary human chondrocytes as an immunogen, and various monoclonal antibodies (mAbs) were generated using standard hybridoma technology. A monoclonal antibody named 5D2 was selected for further characterization. The antigen recognized by 5D2 mAb is expressed by primary human chondrocytes, primary synovial fibroblasts, synovial fibroblast cell lines (SW982), primary skin fibroblasts, and osteoblasts, but not expressed in blood cells. Biochemical analysis revealed that the 5D2 antigen is a protein with a molecular weight of approximately 25-35 kDa. Protein identification by mass spectrometry and molecular cloning revealed that 5D2 antigen is identical to the Thy-1 molecule. Furthermore we confirmed this specificity of the antibody by the isolated and cloned Thy-1 gene to the COS-7 and probed it with the 5D2 antibody using Western blot analysis. We examined the role of the Thy-1 molecule in arthritis models and tissue; one was papain-induced rat arthritis, the other was immunohistological staining of osteoarthritic (OA) human articular cartilage. OA cartilage showed a higher expression of Thy-1 as compared with normal tissue in all experimental approaches. The in vitro studies showed that the inflammatory cytokine interleukin-1 β upregulated Thy-1 molecule expression in the cartilage tissue. It can be concluded that the Thy-1 might be a potential biomarker for cartilage pathogenesis, degradation, and metabolic turnover.

Keywords: Monoclonal antibody, Chondrocyte surface antigen, Osteoarthritis,

Thy-1

1

บทคัดย่อ

รหัสโครงการ: BRG5180012

ชื่อโครงการ: การศึกษาคุณสมบัติและหน้าที่ของโมโนโคลนอล แอนติบอดีย์ ต่อโปรตีน บนผิวเซลล์คอนโดรไซย์

ชื่อนักวิจัย: นาย ปรัชญา คงทวีเลิศ มหาวิทยาลัยเชียงใหม่

E-mail Address: prachya.kongtawelert@gmail.com

ระยะเวลาโครงการ:

เซลล์คอนโดรไซย์มีการแสดงออกของโมเลกุลต่างๆ บนผิวเซลล์มากมายหลายชนิด ใน การทำหน้าที่เกี่ยวข้องกับกระบวนการสื่อสาร ระหว่างเซลล์และเซลล์กับสารเนื้อพื้นในเนื้อเยื่อ cell-cell or cell-matrix interactions เพื่อระบุและศึกษาลักษณะโมเลกุลบนผิวเซลล์คอนโดรไซย์ ผู้วิจัยจึงใช้เซลล์คอนโดรไซย์เป็นสารอิมมูโนเจน ในการผลิตโมโนโคลนอลแอนติบอดี หลังจาก การผลิตโมโนโคลนอลแอนติบอดี และได้ที่ 5D2 ในการศึกษา จากการศึกษาทางชีวเคมีพบว่า โมเลกุลที่มีความจำเพาะกับโมโนโคลนอลแอนติบอดี 5D2 เป็นโปรตีนที่มีขนาดมวลโมเลกุล การวิเคราะห์โดยเทคนิคแมสสเปกโตรเมตรีและการโคลนยืนพบว่า ประมาณ 25-35 kDa โมเลกุลชนิดนี้มีความเหมือนกันกับโมเลกุล Thy-1 การศึกษาทางชีวภาพถึงบทบาทของโมเลกุล Thy-1 ในตัวอย่างโรคข้อเสื่อมในหนูที่ถูกกระตุ้นให้เป็นโรคข้อเสื่อม ด้วยเอนไซม์ปาเปน และ ชิ้นกระดูกอ่อนโรคข้อเสื่อมของมนุษย์ พบว่าชิ้นกระดูกของทั้งหนูและมนุษย์ ที่เป็นโรคข้อเสื่อม เมื่อย้อมด้วย โมโนโคลนอล แอนติบอดี 5D2 มีการแสดงออกของโมเลกุล Thy-1 ที่เพิ่มสูงขึ้น เมื่อเทียบกับชิ้นกระดูกอ่อนปกติ นอกจากนั้น จากการศึกษาในหลอดทดลองกับเซลล์คอนโดร ไซย์ของมนุษย์พบว่า โมเลกุล Thy-1สามารถถูกกระตุ้นให้มีการแสดงออกเพิ่มมากขึ้นด้วย interleukin-1β ซึ่งจากการศึกษาในครั้งนี้อาจจะสรุปได้ว่า Thy-1 เป็นโมเลกุลที่พบอยู่บนผิว เซลล์คอนโดรไซย์ และการนำเอาโมโนโคลนอล แอนติบอดี 5D2 ซึ่งจำเพาะกับโปรตีน Thy-1 น่าจะนำมาใช้ประโยชน์ ในการประยุกต์ใช้ในการช่วยวินิฉัยโรคข้อเสื่อม, ภาวะการเกิดพยาธิ สภาพ, การเสื่อมสลายของกระดูกอ่อน และการเกิดการ turn-over ของ เมแทบอลิซึมในโรคข้อ เสื่อมได้

คำหลัก : โมโนโคลนอลแอนติบอดี, โมเลกุลบนผิวเซลล์คอนโดรไซย์, โรคข้อเสื่อม, Thy-1,

Executive summary

The limitation regeneration capacity of articular cartilage is ascribed to its lack of vascularization, its low number of cells embedded in matrix and their limited mitotic activity in vivo. A newly developed cell-based therapy to enhance cartilage regeneration relies on the transplantation of autologous chondrocytes into the cartilage defect. When cells forming the transplant are harvested from cartilage biopsies, additional defects at less loaded site of the same joint have to be generated to obtain sufficient cells for transplantation purposes. To avoid such new cartilage defects, mesenchymal stem cells were considered as starting material for cartilage repair protocol. Human mesenchymal stem cells derived from bone marrow have been shown to be able to differentiate into adipocytes, fibroblasts, chondrocytes and osteoblasts in vitro, with a preference of most progenitor cells to develop into the osteoblast-like phenotype. Human adult and embryonic stem cells have the potential to differentiate into different cell types in the body and many research groups world-wide are engage in identifying and characterizing stem cells and their partly and fully differentiated progeny. The methods currently used in this research are imperfect and the relationship between stem cells of different source remain unclear. It has become recognized by many groups that stem cell niches are important in determining stem cell phenotype and fate determination. The niche constitutes the environment surrounding the cell, which determines the local signals that guide cell behavior. It thus involves the extracellular matrix (ECM) surrounding the cell and much of the way a cell interacts with the ECM results in a pattern of cell surface expression of glycosylated isoforms that characterize the cells current state and future fate. There is preliminary evidence that CS-epitopes at the cells surface are modulated in expression during changes in cell state and fate. This relates back to the original 1990 observations on these epitopes in development and the use of techniques being developed in Thailand Excellence Center for Tissue Engineering, Chiang Mai University, Thailand provide the tools which will enable this concept to be carried forward and a raft of new approaches to be developed for recognizing, characterizing and monitoring the fate of human stem cells and this will be particularly important in relation to new research and applications in regenerative processes.

Measurements on the protein level using biochemistry or immunohistochemistry have the advantage that it provides an overall result of synthesis and breakdown of matrix components form the past. An antibody that recognizes a cell surface marker would enable us to directly assess cellular phenotype.

The possibility to discriminate between differentiated and dedifferentiated cell, would be of the great help to find the optimal isolation of the cells with the right phenotype before implantation could be established with such cell marker if we apply this antibody to the cell sorter (FACS) or bind it to magnetic beads. At the present, various chondrocyte surface molecules based on their actual and potential relevance in cartilage biology have been discover and named systematically as cluster of differentiation (CD) antigen. By the latest Human Leukocyte Differentiation Antigen (HLDA) workshop, CD1-CD339 has been designed. Some sets of cell surface molecules which are selected based on their actual and potential relevance in cartilage biology which are; 1) martrix associated surface makers; CD 26, CD44 2) integrin; CD49a, CD49c, CD49f, CD51/61, CD151 3) adhesion molecules; CD58, CD54, CD106, CD166 4) stem cell associated; CD 90, CD10, CD105, CD140a and 5) receptor; CD221, CD119, CD130, CD95, Cd120a, CD14.

However, biochemists still believe that several chondrocyte surface molecules are still awaiting to be identified. Identification and fully characterization of new chondrocyte surface molecules will lead to a better understanding of the chondrocyte function and differentiation. This finding may also be applied in the development of new strategy or reagent for induction or engineering of cartilage tissue quality.

We have produced and characterized monoclonal antibodies (mAb) against chondrocyte surface molecules for use as a research tool and biomarker for cartilage degradation. We used primary human chondrocytes as an immunogen, and various monoclonal antibodies (mAbs) were generated using standard hybridoma technology. One of these is considering the practical applications of mAb 5D2. The 5D2 antigen was identical to Thy-1 molecule and showed a higher expression in OA cartilage as compared with normal tissue.

A monoclonal antibody named 5D2 was selected for further characterization. The antigen recognized by 5D2 mAb is expressed by primary human chondrocytes, primary synovial fibroblasts, synovial fibroblast cell lines (SW982), primary skin fibroblasts, and osteoblasts, but not expressed in blood cells. Biochemical analysis revealed that the 5D2 antigen is a protein with a molecular weight of approximately 25–35 kDa. Protein identification by mass spectrometry and molecular cloning revealed that 5D2 antigen is identical to the Thy-1 molecule. Furthermore we confirmed this specificity of the antibody by the isolated and cloned Thy-1 gene to the COS-7 and probed it with the 5D2 antibody using Western blot analysis. We examined the role of the Thy-1

molecule in arthritis models and tissue; one was papain-induced rat arthritis, the other was immunohistological staining of osteoarthritic (OA) human articular cartilage. OA cartilage showed a higher expression of Thy-1 as compared with normal tissue in all experimental approaches. The in vitro studies showed that the inflammatory cytokine interleukin-1 β up-regulated Thy-1 molecule expression in the cartilage tissue. It can be concluded that the Thy-1 might be a potential biomarker for cartilage pathogenesis, degradation, and metabolic turnover.

ความสำคัญและที่มาของปัญหา

กระดูกอ่อนจัดเป็นเนื้อเยื่อเกี่ยวพันที่มีข้อจำกัดในการฟื้นตัวเมื่อเกิดการบาดเจ็บ เนื่องมาจากบริเวณกระดูกอ่อนไม่มีหลอดเลือดฝอยมาเลี้ยงโดยตรง เซลล์ที่พบเพียงชนิดเดียว ในเนื้อเยื่อกระดูกอ่อนซึ่งฝั่งตัวอยู่ในชั้นแมททริกซ์ คือเซลล์คอนโดรไซย์ (chondrocyte) ซึ่งมี จำนวนน้อย และมีอัตราการแบ่งเซลล์ที่ต่ำ การพัฒนาการรักษาในผู้ป่วยที่เป็นโรคข้อเสื่อมมี การพัฒนาโดยการใช้เซลล์คอนโดรไซย์ของตัวผู้ป่วยเอง (autologous chondrocyte) ทำการ ปลูกถ่ายกลับไปยังข้อเข่าของผู้ป่วยเพื่อที่จะกระตุ้นให้กระดูกอ่อนมีการฟื้นตัวจากภาวะที่เป็น โรค เซลล์คอนโดรไซย์ที่ใช้ในการรักษาได้มาจากการเก็บชิ้นเนื้อกระดูกอ่อนที่เป็นโรคออกมา จากตัวผู้ป่วยเอง โดยบริเวณที่ใช้นั้นต้องเป็นบริเวณที่ไม่เป็นโรคเพื่อที่จะให้ได้เซลล์ที่มี ประสิทธิภาพในการรักษา เพื่อที่จะหลีกเลี่ยงปัญหา การใช้ mesenchymal stem cell จึงเป็น อีกทางเลือกหนึ่งในการรักษาโรคข้อเสื่อม จากการศึกษาในหลอดทดลองพบว่าเซลล์ mesenchymal stem cell ของมนุษย์มีความสามารถที่จะพัฒนาไปเป็นเซลล์ไขมัน (adipocyte), สร้างเส้นใย (fibroblast), เซลล์คอนโดรไซย์, และเซลล์สร้างกระดูก (osteoblast) ได้ เซลล์ embryonic stem cell มีความสามารถที่จะพัฒนาไปเป็นเซลล์ต่างๆในร่างกาย นักวิจัย หลากหลายกลุ่มทั่วโลกมีความพยายามที่จะศึกษา stem cell และ เซลล์ในแต่ละระยะของการ differentiation เพื่อที่จะใช้ในการรักษาโรค วิธีที่ใช้ในการศึกษาในปัจจุบันยังมีข้อบกพร่องอยู่ และ คุณสมบัติของ stem cell จากหลากหลายแหล่งกำเนิดก็ยังมีการศึกษาไม่ชัดเจน จาก การศึกษาพบว่า stem cell niches มีบทบาทต่อ stem cell phenotype โดย niche เป็น สภาพแวดล้อมรอบ ๆเซลล์ซึ่งรวมถึง extracellular matrix (ECM) คอยส่งสัญญาณที่มีผลต่อ พฤติกรรมของเซลล์ โดยจากการศึกษาพบว่าในระหว่างพัฒนาการของเซลล์ในแต่ละระยะจะมี การแสดงออกของ glycosylated isoform ที่แสดงออกบนผิวเซลล์ที่แตกต่างกัน จากการศึกษา เบื้องต้นพบว่าโมเลกุลของ chondroitin sulphate (CS) ที่แสดงออกบนผิวเซลล์ถูกควบคุมให้มี การแสดงออกที่เปลี่ยนแปลงใปในแต่ระยะของการพัฒนาการของเซลล์ ซึ่งการศึกษานี้ย้อนกลับ ไปยังปี 1990 มีการพัฒนาเทคนิคที่ใช้ในการศึกษา CS epitope ขึ้นที่ Thailand Excellence Center for Tissue Engineering and stem cell มหาวิทยาลัยเชียงใหม่ ซึ่งเทคนิคที่ใช้นั้น สามารถที่จะนำมาประยุกต์ใช้ในงานวิจัยใหม่ๆได้

การศึกษาการแสดงออกของโปรตีนโดยเทคนิคทางชีวเคมี และการศึกษาในชิ้นเนื้อด้วย เทคนิค Immunohistochemistry จะช่วยบ่งบอกถึงการสร้างและการสลายของสารในแมททริกซ์ โดยการใช้แอนติบอดีที่มีความจำเพาะต่อโมเลกุลบนผิวเซลล์ชนิดนั้นๆ โดยสามารถที่จะบ่งบอก ถึงกระบวนการต่างๆของเซลล์ได้

เพื่อที่จะช่วยในการแยกเซลล์ที่ถูกต้องที่จะใช้ในการรักษาจำเป็นที่จะต้องแยกความ แตกต่างระหว่างเซลล์ 2 ระยะคือ differentiated และdedifferentiated cell ออกจากกัน โดยการ ใช้ตัวบ่งชี้ที่ถูกต้อง ซึ่งสามารถประยุกต์ได้โดยการใช้แอนติบอดีที่จำเพาะกับตัวบ่งชี้นั้นๆในการ แยกความแตกต่าง แล้วทำการแยกเซลล์ออกมาโดยใช้เครื่อง Flow cytometer หรือการใช้

magnetic bead ในการแยก ในปัจจุบันโมเลกุลที่แสดงออกบนผิวเซลล์คอนโดรไซย์นั้นมีการ คันพบมากมายและมีการตั้งชื่อตามหลัก cluster of differentiation (CD) antigen โดยจากการ ประชุมล่าสุดของ Human Leukocyte Differentiation Antigen (HLDA) workshop พบว่ามีการ บัญญัติโมเลกุลที่ถูกคันพบมากมายโดยให้ชื่อเป็น CD1-CD339 ซึ่งโมเลกุลบนผิวเซลล์บางกลุ่ม มีความสัมพันธ์กับชีววิทยาของกระดูกอ่อน ได้แก่ 1) martrix associated surface makers ได้แก่ CD 26 และ CD44 2) integrin; CD49a, CD49c, CD49e, CD49f, CD51/61, และ CD151 3) adhesion molecules ได้แก่ CD58, CD54, CD106 และ CD166 4) stem cell associated ได้แก่ CD 90, CD10, CD105 และ CD140a และ 5) receptor ได้แก่ CD221, CD119, CD130, CD95, Cd120a และ CD14 เป็นตัน

อย่างไรก็ตามนักชีวเคมีก็ยังมีความเชื่อว่ายังมีโมเลกุลบนผิวเซลล์คอนโดรไซย์อีกหลาย ชนิดที่รอการค้นพบ การศึกษาโมเลกุลชนิดใหม่ ๆนั้นจะทำให้มีความเข้าใจถึงการทำงานของ เซลล์คอนโดรไซย์รวมถึงกระบวนการ differentiation ของเซลล์ ซึ่งสามารถนำมาประยุกต์ใน การพัฒนาในงานวิจัยที่เกี่ยวข้องกับกระดูกอ่อนได้

เซลล์คอนโดรไซย์ทำหน้าที่เกี่ยวข้องกับการควบคุมสมดุลระหว่างการสร้างสารและการ ทำลายสารใน ECM การเปลี่ยนแปลงการแสดงออกของโปรตีนของเซลล์มีบทบาทต่อการทำ หน้าที่นี้ การศึกษาการแสดงออกของโปรตีนบนผิวเซลล์จะช่วยให้เราสามารถเป็นตัวช่วยบ่ง บอกการพัฒนาและกระบวนการการเกิดโรคข้อเสื่อมได้ ปัจจุบันคณะผู้วิจัยได้ทำการผลิตโมโน โคลนอลแอนติบอดีต่อโมเลกุลบนผิวเซลล์คอนโดรไซย์เพื่อที่จะใช้เป้นตัวบ่งชี้การเสื่อมสลาย ของข้อ โดยโมโนโคลนอลแอนติบอดีชนิดหนึ่งที่ได้คัดเลือกเพื่อที่จะใช้ในการศึกษาครั้งนี้คือ โมโนโคลนอลแอนติบอดีชื่อ 5D2 โดยพบว่าโมโนโคลนอลแอนติบอดีชนิดนี้มีความจำเพาะกับโมเลกุล Thy-1 และพบการแสดงออกของโมเลกุล Thy-1 เพิ่มสูงขึ้นในชิ้นกระดูกอ่อนที่เป็นโรคข้อเสื่อม

วัตถุประสงค์

- 1. เพื่อค้นหาสารบ่งชี้บนผิวเซลล์สำหรับใช้ทำนายการเปลี่ยนแปลงเมแทบอลิซึมของ เนื้อเยื่อกระดูกอ่อน และใช้เป็นสารบ่งชี้ในการจำแนกเซลล์คอนโดรไซย์
- 2. เพื่อการผลิตและศึกษาคุณสมบัติของโมโนโคลนอล แอนติบอดี ที่มีความจำเพาะกับ แอนติเจนบนผิวเซลล์คอนโดรไซย์
- 3. เพื่อประยุกต์ใช้แอนติบอดี ที่ผลิตได้ในการบ่งชี้และติดตามการทำงานของเซลล์กระดูก อ่อนและการเสื่อมสลายของเนื้อเยื่อกระดูกอ่อน

วิธีทดลอง

การทำลองมีระเบียบวิจัยดังนี้

- 1. การศึกษาคุณสมบัติของโมโนโคลนอลแอนติบอดีจะใช้เทคนิคดังต่อไปนี้คือ flow cytometry, ELISA, immunoprecipitation และ Western Blotting
- 2. การศึกษาการแสดงออกของโมเลกุลที่จำเพาะกับโมโนโคลนอลแอนติบอดีชนิด 5D2 บน ผิวเซลล์และเนื้อเยื่อ จะใช้เทคนิค flow cytometry และ immunohistochemistry.
- 3. การศึกษาโมเลกุลที่จำเพาะกับโมโนโคลนอลแอนติบอดีใช้เทคนิค immunoprecipitation และ mass spectrometry
- 4. การประยุกต์ใช้โมโนโคลนอลแอนติบอดีทำได้โดยการศึกษาการแสดงออกของโมเลกุล Thy-1 ในชิ้นกระดูกที่เป็นโรคข้อเสื่อม โดยเทคนิค Immunohistochemistry

วิธีการทดลอง

การแยกและเพาะเลี้ยงเซลล์คอนโดรไซย์

เซลล์คอนโดรไซย์ที่ใช้ในการศึกษาครั้งนี้แยกได้จากชิ้นกระดูกอ่อนปกติของผู้ป่วยที่ ได้รับวินิจฉัยว่าเป็นโรค flat pad syndrome จากโรงพยาบาลมหาราชนครเชียงใหม่ (ภาควิชา ออโธปิดิกส์, คณะแพทยศาสตร์ มหาวิทยาลัยเชียงใหม่) (จริยธรรม เลขที่ 070CT111016) เซลล์คอนโดรไซย์จะถูกแยกโดยทำการย่อยชิ้นกระดูกอ่อนด้วยเอนไซม์ trypsin ข้ามคืน ที่ อุณหภูมิ 4 องศาเซลเซียส หลังจากนั้นทำการย่อยต่อด้วยเอนไซม์ collagenase type IA เป็นเวลา 3 ชั่วโมงที่อุณหภูมิ 37 องศาเซลเซียส หลังจากนั้นทำการล้างเซลล์ด้วย PBS และ เลี้ยงเซลล์ในอาหารเลี้ยงเซลล์ DMEM ซึ่งมีส่วนผสมของ 10%FCS หลังเลี้ยง ทำการเพิ่ม จำนวณเซลล์ให้ได้ปริมาณที่ต้องการ เพื่อในการทดลองต่อไป

การผลิตโมโนโคลนอล แอนติบอดี ต่อเซลล์คอนโดรไซย์

โดยแบ่งเป็นขั้นตอนได้ดังนี้

1. การฉีดกระตุ้นหนู

ทำการฉีดกระตุ้นหนู BALB/c ด้วยเซลล์คอนโดรไซย์ปริมาณ 1 x 10 ็ เซลล์ โดยฉีด เข้าทางช่องท้องของหนู ฉีดทั้งหมด 3 ครั้งโดยแต่ละครั้งมีระยะห่างกันสองอาทิตย์

2. การทดสอบแอนติบอดีในซีรัมหนู

เมื่อครบกำหนดการฉีดกระตุ้นหนู ทำการวัดความแรงของแอนติบอดี โดยเก็บ ตัวอย่างเลือดของหนูบริเวณหลอดเลือดดำของโคนหาง โดยเก็บทั้งหมดประมาณ 300-500 µl แล้วปั่นแยกซีรัมเพื่อที่จะใช้วัดความแรงของแอนติบอดี ทำการทดสอบโดยซีรัมมาเจือจางเป็น ความเข้มขันต่างๆแล้วนำไปบ่มกับเซลล์คอนโดรไซม์เป็นเวลา 30 นาที ที่อุณหภูมิ 4 องศา เซลเซียส หลังจากนั้นปั่นล้าง 2 ครั้งด้วย 1%BSA/PBS แล้วทำการย้อมด้วย FITC conjugated anti-mouse Immunoglobulins เป็นเวลา 30 นาที ที่อุณหภูมิ 4 องศาเซลเซียส เมื่อครบเวลา

ป^{ั้}นล้าง 3 ครั้งด้วย 1% BSA/PBS แล้วเติม 1% paraformaldehyde 350 µl นำไปวิเคราะห์ด้วย เครื่อง flow cytometer

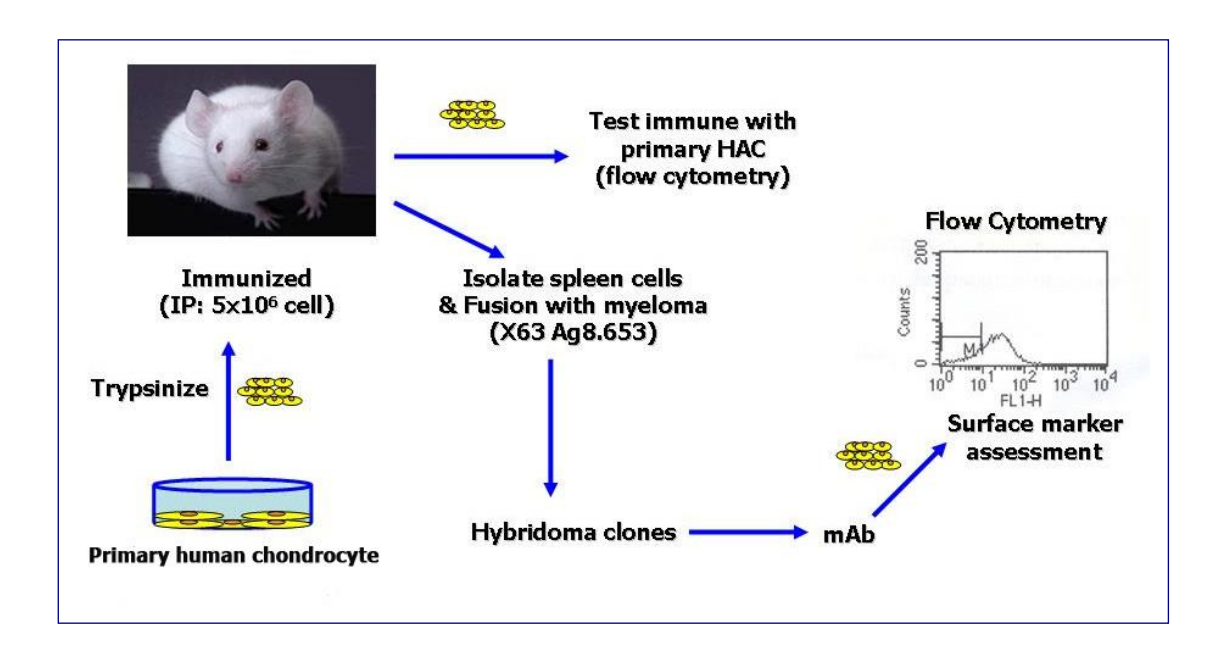
3. การทำสร้างโมโนโคลนอลแอนติบอดีโดยวิธี Hybridoma technique

เมื่อหนูมีการสร้างแอนติบอดีต่อเซลล์คอนโดรไซย์แล้ว ทำการฉีดกระตุ้นหนูซ้ำอีก 1 ครั้งด้วยเซลล์คอนโดรไซย์ หลังจากฉีดครบ 5 วันทำการฆ่าหนู เก็บม้ามออกมาเพื่อแยกเอา spleen cell ทำการแตกเม็ดเลือดแดงโดยใช้ 0.83% NH₄CI hypotonic solution เป็นเวลา 5 นาที ปั้นล้างเซลล์ด้วย 10%FCS in IMDM 2 ครั้งแลวนำเซลล์ไปเข้าสู่กระบวนการ fusion โดย เซลล์ที่ใช้ในการ fusion คือเซลล์ myeloma P3-X63Ag8.653 ทำการ fuse โดยใช้สาร 50% polyethylene glycol เมื่อเสร็จกระบวนการ fusion ทำการปั่นล้างเซลล์และเลี้ยงเซลล์ใน HAT medium ใน 10%FCS in IMDM ที่มีส่วนผสมของ BM condimed H1 ในตู้ incubator ที่ 5%CO₂ 37 องศาเซลเซียส เมื่อครบ 5 วันทำการเปลี่ยนอาหารเลี้ยงเซลล์จาก HAT medium เป็น HT medium

4. การคัดเลือกเซลล์ hybridoma ที่สร้างแอนติบอดีต่อโมเลกุลบนผิวเซลล์คอนโดรไซย์ นำน้ำเลี้ยงเซลล์ hybridoma มาทำการย้อมเซลล์คอนโดรไซย์เป็นเวลา 30 นาที ที่ อุณหภูมิ 4 องศาเซลเซียส หลังจากนั้นปนั้นล้าง 2 ครั้งด้วย 1%BSA/PBS แล้วทำการย้อมด้วย FITC conjugated anti-mouse Immunoglobulins เป็นเวลา 30 นาที ที่อุณหภูมิ 4 องศา เซลเซียส เมื่อครบเวลา ปนั้นล้าง 3 ครั้งด้วย 1%BSA/PBS แล้วเติม 1% paraformaldehyde 350 µI นำไปวิเคราะห์ด้วยเครื่อง flow cytometer

5. การทำ Limitting dilution

เพื่อที่จะให้ได้เซลล์เพียงชนิดเดียวที่สร้างโมโนโคลนอลแอนติบอดีที่สนใจ จึงทำการ นับเซลล์และเลี้ยงเซลล์ใน 96 well plate โดยให้มีเซลล์ 1 เซลล์ต่อหลุม ทำการเลี้ยงที่สภาวะ 5%CO₂ 37 องศาเซลเซียส เป็นเวลา 3 อาทิตย์หลังจากนั้นจึงทำการทดสอบ activity โดยการ นำน้ำเลี้ยงเซลล์มาย้อมกับเซลล์คอนโดรไซย์และวิเคราะห์โดยเครื่อง Flow cytometer หลังจาก นั้นจึงทำ limiting dilution ซ้ำอีก 1 ครั้งเป็น second limiting dilution



รูปที่ 1 แสดงกระบวนการผลิตโมโนโคลนอล แอนติบอดีต่อโมเลกุลบนผิวเซลล์คอนโดรไซย์

การวิเคราะห์ isotype ของโมโนโคลนอลแอนติบอดี

ทำการวิเคราะห์หา isotype ของโมโนโคลนอลแอนติบอดีโดยวิธี ELISA โดยขั้นแรกนำ ELISA plate มาทำการเคลือบด้วยแอนติบอดีที่จำเพาะต่อ isotype ต่างๆของโมโนโคลนอล แอนติบอดี คือ rat anti-mouse IgG1, IgG2a, IgG2b, IgG3, IgM และ IgA โดยละลาย แอนติบอดีเหล่านั้นใน coating buffer (0.01 M NaHCO₃ pH 9.6) นำไป incubate ที่ 4 องศา เซลเซียส ข้ามคืน เมื่อครบเวลาทำการล้างเพลทด้วย 0.05% Tween-PBS จำนวน 3 ครั้งแล้ว เติม น้ำเลี้ยงเซลล์ hybridoma ที่จะทดสอบลงไปบุ่มที่ 37 องศาเซลเซียสเป็นเวลา 1 ชั่วโมง หลังจากนั้นทำการล้างเพลทจำนวน 3 ครั้งแล้วเติม Goat anti-mouse immunoglobulins-HRP แล้วบุ่มที่ 37 องศาเซลเซียสเป็นเวลา 1 ชั่วโมง เมื่อล้างครบ 3 ครั้ง เติม OPD substrate แล้ว บุ่มที่ 37 องศาเซลเซียสเป็นเวลา 15 นาที หยุดปฏิกิริยาด้วย 4M H₂SO₄ แล้วนำไปวัดค่าการ ดูดกลืนแสงด้วยเครื่อง microplate reader ที่ความยาวคลื่น 490 nm

การผลิต ascitic fluid

เพื่อที่จะผลิตโมโนโคลนอลแอนติบอดีให้ได้ครั้งละมาก ๆจึงทำการผลิต ascetic fluid โดยขั้นแรกทำการฉีด pristane ปริมาตร 500µl เข้าช่องท้องหนู BALB/c เมื่อครบ 7 วันทำการ ฉีดเซลล์ hybridoma ประมาณ 1-2 x 10⁶ เซลล์เข้าไปทางช่องท้องหนู เมื่อครบ 7-15 วันทำการ เก็บ ascetic fluid เพื่อนำไปใช้ต่อไป

การตรวจสอบความจำเพาะของโมโนโคลนอล แอนติบอดี ด้วยวิธีการ flow cytometry

เซลล์ที่ใช้ในการศึกษามีดังนี้ คือ เซลล์คอนโดรไซย์, เซลล์เยื่อบุข้อ, เซลล์ผิวหนัง, โมโน ไซท์, ลิมโฟไซท์, เซลล์มะเร็งกระดูกอ่อน, เซลล์มะเร็งเยื่อบุข้อ, Daudi, U937, K562, hFOB 1.19, และ HepG2 โดยขั้นแรกนำเซลล์จำนวน 5 x 10⁵ เซลล์มาบ่มกับ 10% AB serum ที่ 4 องศาเซลเซียสเป็นเวลา 30 นาที เมื่อครบเวลาทำการเติม โมโนโคลนอลแอนติบอดีลงไป บ่มที่ 4 องศาเซลเซียสเป็นเวลา 30 นาที เมื่อครบเวลาล้างเซลล์ 2 ครั้งด้วย 1%BSA-PBS แล้วเติม FITC-conjugated anti-mouse immunoglobulin antibodies แล้วบ่มที่ 4 องศาเซลเซียสเป็น เวลา 30 นาที หลังจากนั้นทำการล้างเซลล์ด้วย 1%BSA-PBS จำนวน 3 ครั้งแล้วนำไปวิเคราะห์ ด้วยเครื่อง flow cytometer

การศึกษาคุณสมบัติทางชีวเคมีของโมเลกุลที่มีความจำเพาะกับโมโนโคลนอล แอนติบอดี

ล้างเซลล์คอนโดรไซย์ด้วย PBS แล้วนำเซลล์ 1–5 x 10⁷cells/mLมาติดฉลากด้วย biotin โดยใช้ 5mM sulfo-NHS-LC-Biotin นำไปบ่มที่ 4 องศาเซลเซียสเป็นเวลา 1 ชั่วโมง เมื่อ ครบเวลาล้างเซลล์ด้วย 1mM glycine ใน PBS จำนวน 1 ครั้ง แล้วล้างอีก 2 ครั้ง ด้วย PBS หลังจากนั้นทำการแตกเซลล์ด้วย lysis buffer (5mM iodoacetamide, protease inhibitor, 1% NP-40, Tris HCI [pH 8.2]) ที่ 4 องศาเซลเซียสเป็นเวลา 30 นาที แล้วนำไปปั้นแยก ที่ 10,000 g ที่ 4 องศาเซลเซียสเป็นเวลา 20 นาที เก็บเอาส่วน supernatant เพื่อนำไปใช้ต่อไป

นำส่วน supernatant ที่ได้ไปผสมกับ CNBr Sepharose beads ที่ถูกเคลือบด้วย 5D2 mAb ที่ 4 องศาเซลเซียส ข้ามคืน หลังกระบวนการ immunoprecipitation นำโปรตีนที่ได้ไป แยกโดยเทคนิค SDS-PAGE แล้วทำ Western blot เพื่อหาขนาดโมเลกุลของโมเลกุลที่จำเพาะ กับ 5D2 mAb โดยทำการ transfer โปรตีนจากแผ่น gel ไปสู่ nitrocellulose membrane หลัง กระบวนการ transfer ทำการ block membrane ด้วย 5% skim milk ใน TBS ที่มีส่วนผสมของ 0.05% Tween-20 (TBST) แล้วจึงนำไปทำปฏิกิริยากับ 5D2 mAb เป็นเวลา 1 ชั่วโมงเมื่อครบ เวลา ล้าง 3 ครั้งด้วย TBST แล้วนำไป incubate ร่วมกับ horseradish peroxidase-conjugated secondary antibody (1:2000) เมื่อครบเวลาล้าง 3 ครั้งด้วย TBST แล้ววิเคราะห์โปรตีนที่มี ความจำเพาะกับ 5D2 mAb โดยใช้ enhanced chemiluminescence plus detection system

การบ่งบอกถึงชนิดของโมเลกุลที่จำเพาะต่อโมโนโคลนอล แอนติบอดี

เพื่อบ่งบอกถึงชนิดของโมเลกุลที่จำเพาะต่อโมโนโคลนอลแอนติบอดี ด้วยวิธี immunoprecipitation โดยการใช้ Iyasate ที่ได้จากเซลล์คอนโดรไซย์นำไปทำปฏิกิริยาร่วมกับ cyanogen bromide-activated Sepharose bead ซึ่งถูกเคลือบไว้ด้วย 5D2 mAb ที่ 4 องศา เซลเซียสข้ามคืน หลังจากล้างด้วย PBS ทำการ elute โปรตีนด้วย 1X sample buffer (10%

glycerol, 1% SDS, 0.1% bromphenol blue, และ 0.0625M Tris- HCI (pH 6.8) ทำการแยก โปรตีนที่ได้ต่อโดยวิธี SDS-PAGE ทำการตัด gel ตรงตำแหน่งของโปรตีนที่มีขนาด 35 KDa แล้วนำ gel ที่ตัดออกมาล้าง 2 ครั้งด้วย 50% acetonitrile (ACN) ใน 25mM NH₄HCO₃ buffer (pH 8.0) ปริมาตร 200 µI ที่อุณหภูมิห้อง 15 นาที และ ล้างอีก 1 ครั้งด้วย 100% ACN ปริมาตร 200 µI หลังจากนั้นจึงนำไปสกัดและย่อยด้วยเอนไซม์ทริปซิน แล้วจึงนำไปวิเคราะห์ โดย Q-TOF UltimaTM mass spectrometer (Micromass, Manchester, United Kingdom)

การโคลนยืน Thy-1 เข้าไปใน COS-7 cell-line

ทำการสกัด total mRNA จากเซลล์คอนโดรไซย์ แล้วสังเคราะห์เป็น cDNA หลังจากนั้น จึงเพิ่มปริมาณ Thy-1 cDNA ด้วยวิธี RT-PCR ทำการโคลนยีนของ Thy-1 เข้าไปใน plasmid pcDNA3.1 ตรงตำแหน่ง BamH1 และ EcoR1 restriction site แล้วทำการ transfect เข้าสู่เซลล์ COS-7 ขั้นแรกทำการเลี้ยงเซลล์จำนวน 1–3 x 10 ็เซลล์ในจานเลี้ยงเซลล์ขนาด 35 มม. แล้ว ทำการ transfect โดยใช้ GeneJuice reagent เมื่อครบเวลา 8 ชั่วโมงทำการเปลี่ยนอาหารเลี้ยง เซลล์แล้วเลี้ยงต่อไปอีก 48 ชั่วโมง เมื่อครบเวลาทำการแตกเซลล์แล้วนำไปวิเคราะห์การ แสดงออกของ Thy-1 โดยวิธี Western blot

การศึกษาการแสดงออกของโมเลกุล Thy-1 ในเนื้อเยื่อกระดูกอ่อน

การศึกษาการแสดงออกของโมเลกุล Thy-1 ในเนื้อเยื่อกระดูกอ่อนแบ่งเป็น 2 การ ทดลองคือ ในสัตว์ที่ถูกกระตุ้นให้เป็นโรคข้อ และการศึกษาการแสดงออกของ Thy-1 ในเนื้อเยื่อ กระดูกอ่อนมนุษย์ที่เป็นโรคข้อ

การกระตุ้นหนูให้เป็นโรคข้อเสื่อมโดยใช้เอนไซม์ปาเปน

ทำการฉีดกระตุ้นหนูขาวบริเวณข้อเข่าจำนวน 3 ตัวด้วยเอนไซม์ปาเปนที่ความเข้มข้น 4% (w/v) ที่ละลายใน normal saline ในวันที่ 1, 4 และ 7 หลังจากฉีดครั้งสุดท้ายครบ 10 วันทำ การฆ่าหนู แล้วตัดเอาส่วนของเนื้อเยื่อกระดูกอ่อนมาทำการ fix ด้วย 4% paraformaldehyde ข้ามคืน แล้วนำไป embedded ใน paraffin หลังจากนั้นจึงนำไปตัดชิ้นเนื้อให้มีความหนา ประมาณ 5 มม ชิ้นเนื้อที่ได้นำไปย้อมสี hematoxylin and eosin (H&E) และ Safranin-O

นำชิ้นกระดูกอ่อนที่เป็นโรคข้อเสื่อมของมนุษย์และกระดูกอ่อนของหนูที่กระตุ้นให้เป็น โรคข้อเสื่อมมาทำการศึกษาการแสดงออกของ Thy-1 ขั้นแรกนำตัวอย่างชิ้นเนื้อเข้าสู่ กระบวนการ deparaffinized แล้วนำชิ้นกระดูกอ่อนไปย่อยด้วยเอนไซม์ Chondroitinase ABC เป็นเวลา 15 นาที แล้วนำไป incubate ใน 3% H_2O_2 เป็นเวลา 10 นาที หลังจากทำการ block ด้วย with 3% BSA แล้ว นำชิ้นกระดูกไป incubate ด้วย 5D2 mAb ข้ามคืนที่ 4 องศาเซลเซียส ทำการล้าง 3 ครั้งด้วย PBST แล้วนำไปย้อมด้วย sheep anti-mouse IgM (μ chain specific)

peroxidase conjugated เป็นเวลา 1 ชั่วโมง เมื่อครบเวลาทำการล้าง 3 ครั้งด้วย PBST แล้ว นำไปทำให้เกิดสีด้วย diaminobenzidine substrate

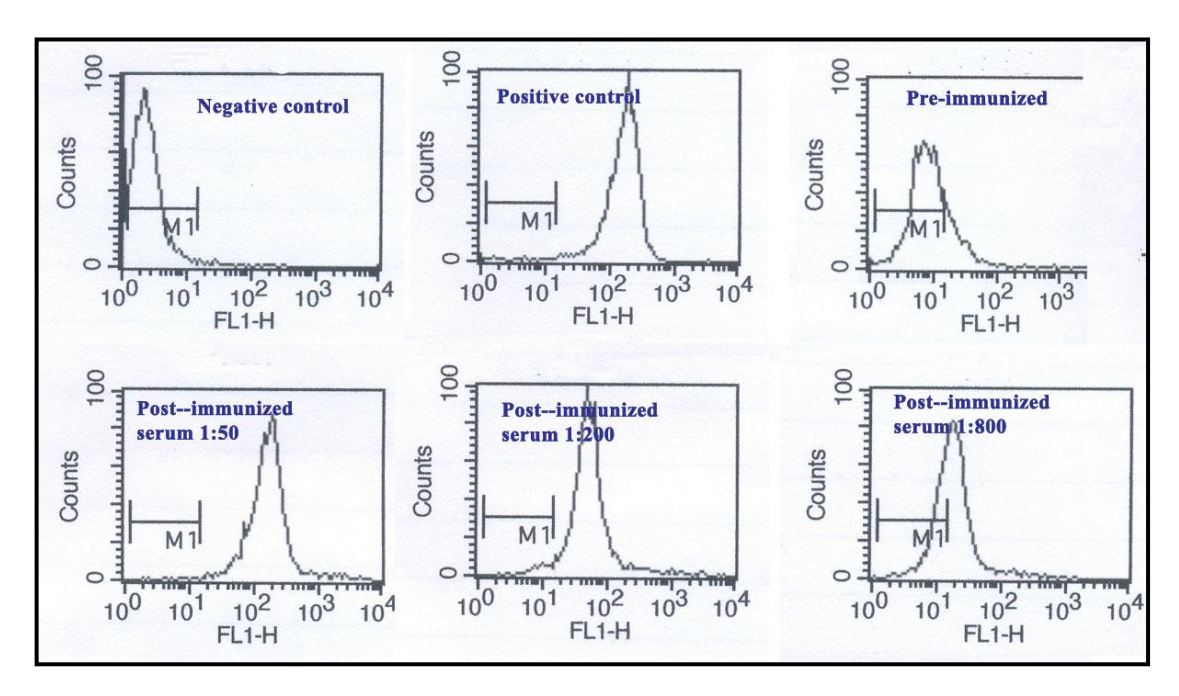
การศึกษาการแสดงออกของโมเลกุล Thy-1 ในเซลล์คอนโดรไซย์เมื่อถูกกระตุ้น ด้วย Interleukin-1β

เพื่อที่จะศึกษาการแสดงออกของโมเลกุล Thy-1 ทำการเลี้ยงเซลล์คอนโดรไซย์จนมี ประมาณเซลล์ประมาณ 80% ของจานเลี้ยงเซลล์ ทำการอดอาหาร 24 ชั่วโมงโดยเลี้ยงในอาหาร เลี้ยงเซลล์ DMEM ที่ไม่มีส่วนผสมของ FCS เมื่อครบกำหนดทำการกระตุ้นเซลล์ด้วย interleukin-1β ที่ความเข้มขัน 10 ng/mL ที่เวลา 0, 24, 48, และ 72 ชั่วโมง แล้วทำการแตก เซลล์ด้วย 1X sample buffer นำเซลล์ lysate ที่ได้ไปแยกด้วย 12% SDS-PAGE แล้วทำการ transfer โปรตีนไปยัง nitrocellulose membrane ทำการ block membrane ด้วย 5% skim milk ใน TBST ที่มีส่วนผสมของ 0.05% TBST แล้วนำไปทำปฏิกิริยากับ 5D2 mAb ที่ 4 องศาเซลเซียสข้ามคืน ล้าง membrane 3 ครังด้วย TBST แล้วเติม Horseradish peroxidase-conjugated secondary antibody (dilution, 1:2000; Amersham Biosciences) incubateที่ อุณหภูมิห้อง 1 ชั่วโมง แล้ววิเคราะห์การแสดงออกของโมเลกุล Thy-1 โดยใช้ enhanced chemiluminescence plus detection system

ผลการทดลอง

1. การฉีดกระตุ้นหนู (Immunization)

ทำการฉีดกระตุ้นหนูสายพันธุ์ Balb/c เพศเมีย อายุ 6 สัปดาห์ จำนวน 2 ตัว โดยนำหนู มาเลี้ยงก่อนฉีด 7 วัน ทำการเก็บเลือด pre-immunization 300-500 µl ทางเส้นเลือดดำบริเวณ ปลายหาง แล้วทำการฉีดกระตุ้นหนูทางช่องท้องด้วยเซลล์คอนโดรไซย์มนุษย์ (primary human articular chondrotyte , passage 2 5-10 x10 ็เซลล์ จำนวน 3 ครั้งโดยแต่ละครั้งฉีดห่างกัน 2 สัปดาห์ เก็บเลือดหนู 300-500 µl ทางเส้นเลือดดำบริเวณปลายหาง แล้วทำการศึกษาระดับ แอนติบอดีที่เพิ่มขึ้นด้วยวิธี Flow cytometry



รูปที่ 2 แสดงผลการฉีดกระตุ้นหนูด้วยเซลล์คอนโดรไซม์มนุษย์ เปรียบเทียบระหว่างก่อนฉีด และหลังฉีดวิเคราะห์โดยวิธี Flow cytometry

Negative control คือ ย้อมเซลล์ด้วย Immunoglobulin

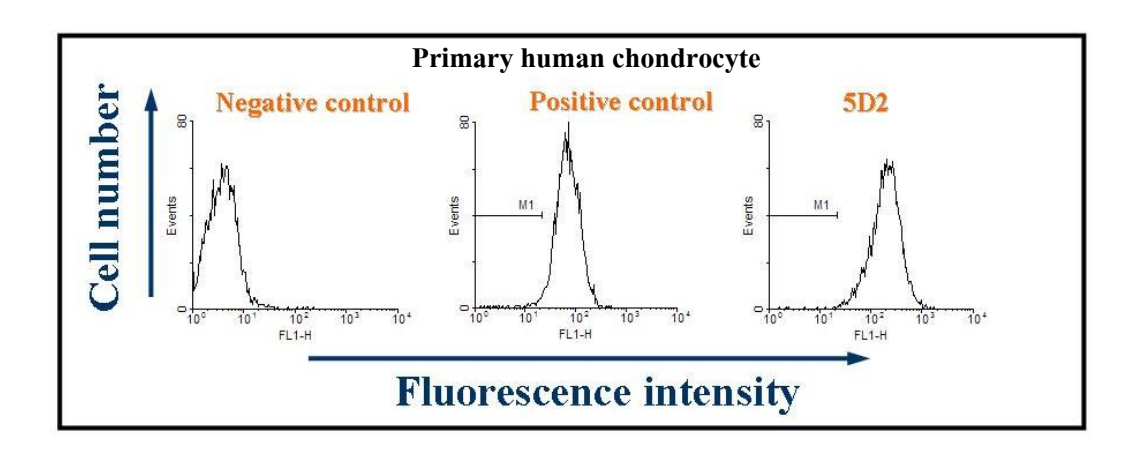
Positive control คือ ย้อมเซลล์ด้วยแอนติบอดีต่อ CD147

จากการศึกษาหนูที่ได้รับการฉีดกระตุ้นมีการสร้างแอนติบอดีต่อเซลล์คอนโดรไซย์ มนุษย์ โดยวัดเป็นค่าความแรงของแอนติบอดีมี titer เท่ากับ 800

2. การผลิตโมโนโคลนอลแอนติบอดีโดยวิธี Hybridoma technique

การผลิตโมโนโคลนอลแอนติบอดีโดยวิธี Hybridoma technique ใช้หลักการ การ รวมกันของเซลล์ที่สร้างแอนติบอดีในหนู และเซลล์มะเร็ง Myeloma โดยใช้ Polyethylene glycol หลังกระบวนการคัดเลือก และ การทำ limiting dilution จากแอนติบอดีที่ผลิตได้ทั้งหมด ได้เลือกโมโนโคลนอลแอนติบอดีที่ชื่อ 5D2 มาทำการศึกษาคุณสมบัติอื่นๆต่อไป โดยจากการ วิเคราะห์โดยวิธี ELISA พบว่า 5D2 mAb เป็น mAb ชนิด IgM เพื่อเพิ่มปริมาณ mAb ทำโดย

ฉีดหนู Balb/c เพศเมีย อายุ4 เดือน จำนวน 3 ตัว ด้วยเซลล์ hybridoma ที่ผลิต 5D2 mAb เข้า ทางช่องท้องของหนูเพื่อผลิต ascitic fluid เพื่อใช้ในการทดลองต่อไป

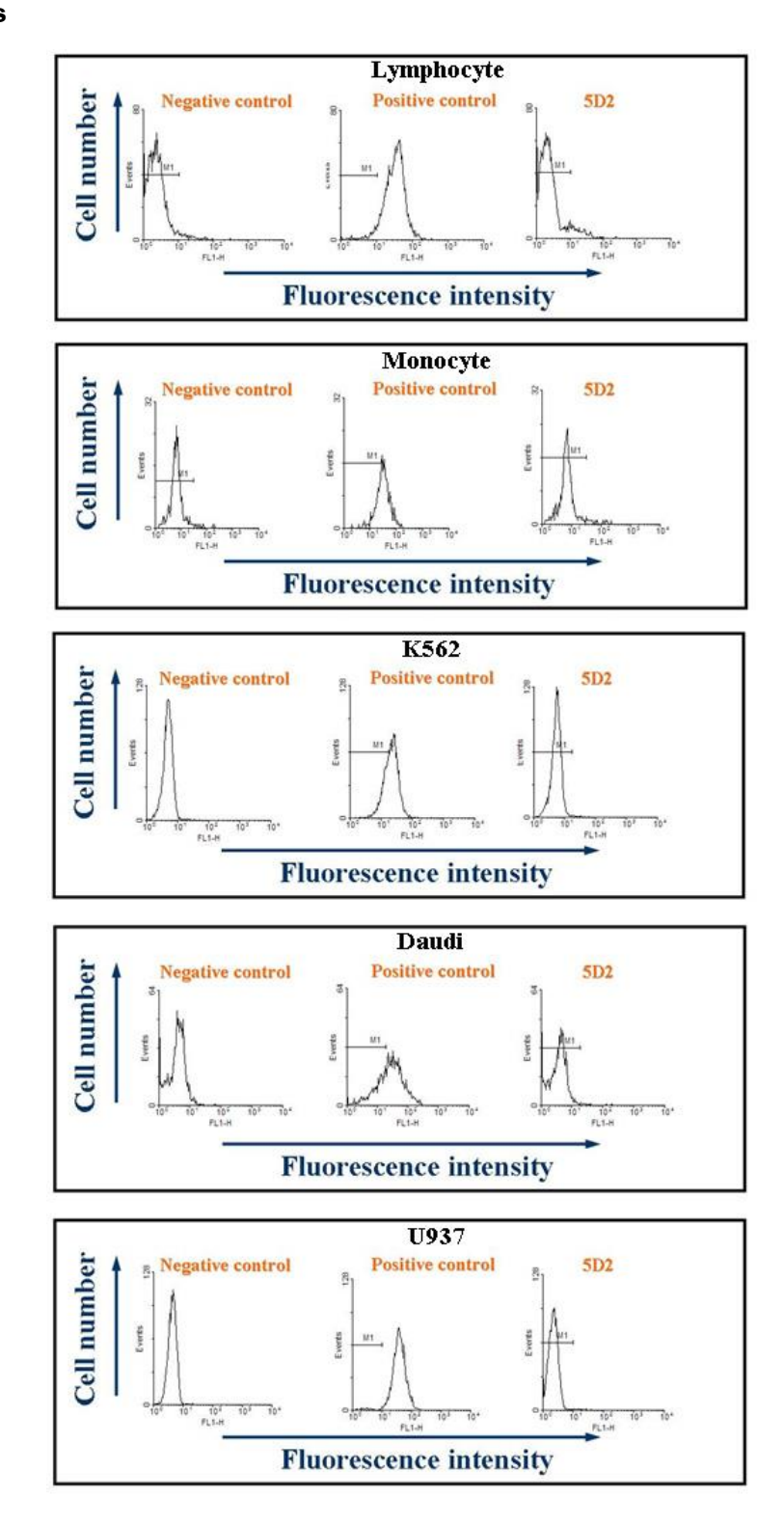


รูปที่ 3 แสดงผล flow cytometry ของ 5D2 mAb ที่จำเพาะกับโมเลกุลบนผิซเซลล์คอนโดรไซย์ โดย positive control คือ CD147 mAb, negative control คือ Immunoglobulin

3. การศึกษาการแสดงออกของโมเลกุลที่ทำปฏิกิริยาจำเพาะกับ 5D2 โมโนโคลนอล แอนติบอดีในเซลล์ชนิดต่าง ๆ

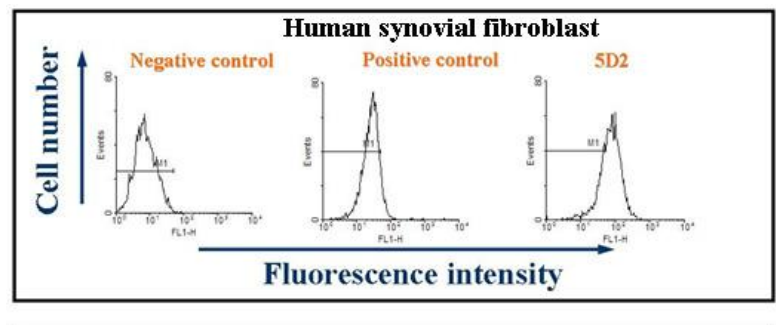
ทำการย้อมเซลล์ชนิดต่างๆด้วย 5D2 โมโนโคลนอลแอนติบอดี โดยวิธี indirect immunofluorescence และตรวจวิเคราะห์โดย flow cytometry ผลการศึกษาพบว่า โมเลกุลที่ทำ ปฏิกิริยาจำเพาะกับ 5D2 โมโนโคลนอลแอนติบอดี มีการแสดงออกบน ผิวเซลล์คอนโดรไซย์ ปฐมภูมิ (primary human chondrocyte) เซลล์เยื่อบุข้อ (synovial fibroblast cell-line:) เซลล์มะเร็งเยื่อบุข้อ (SW1353) เซลล์ผิวหนัง (skin fibroblast) และ osteoblast (hFOB19.2) โดยไม่พบการแสดงออกในเซลล์เม็ดเลือดขาวชนิด โมโนไซท์และลิมโฟไซท์ นอกจากนี้ยังไม่พบการแสดงออกในเซลล์มะเร็งเม็ดเลือดขาวชนิด Daudi, U937 และ K562 และยังพบอีก ว่าไม่พบโมเลกุล 5D2 ในเซลล์มะเร็งกระดูกอ่อน เซลล์มะเร็งตับ (hepG2) และ human embryonic kidney cell (HEK 293 cell)

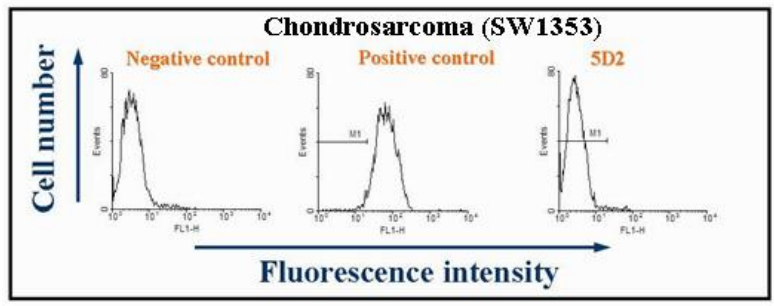
1. Blood cells

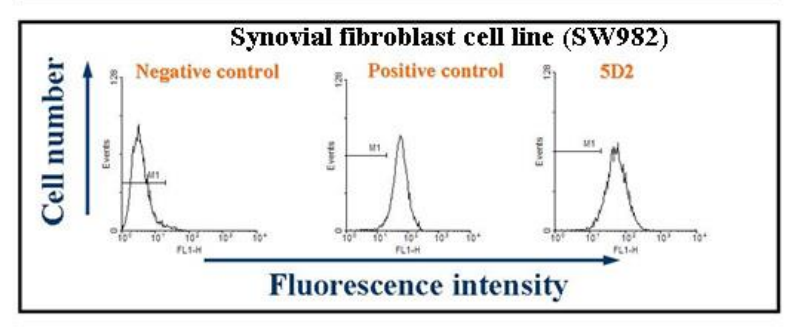


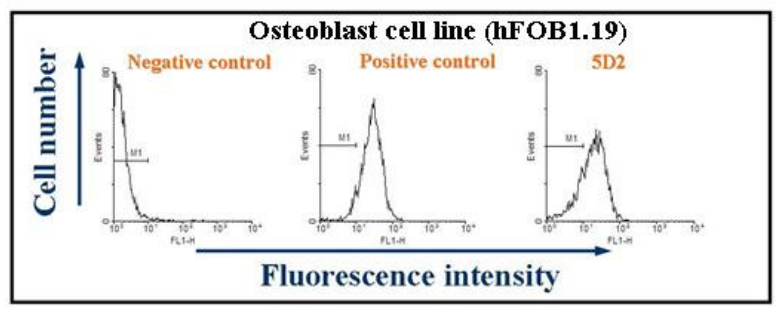
รูปที่ 4 แสดงผล flow cytometry ของ blood cell ต่อโมเลกุลที่จำเพาะกับ 5D2 mAb โดย positive control คือ CD147 mAb negative control คือ Immunoglobulin

2. Bone and cartilage



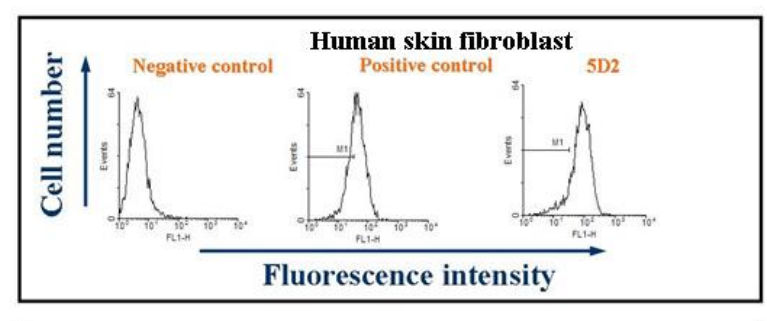


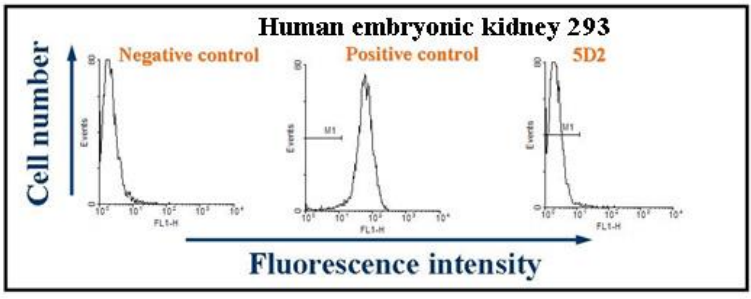


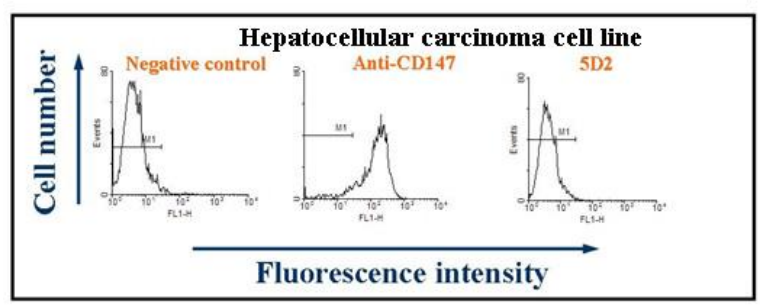


รูปที่ 5 แสดงผล flow cytometry ของเซลล์ที่พบในข้อ (joint cells) ต่อโมเลกุลที่จำเพาะกับ 5D2 mAb โดย positive control คือ CD147 mAb negative control คือ Immunoglobulin

3. เซลล์ชนิดอื่น ๆ







รูปที่ 6 แสดงผล flow cytometry ของเซลล์ชนิดอื่นๆ ต่อโมเลกุลที่จำเพาะกับ 5D2 mAb โดย positive control คือ CD147 mAb, negative control คือ Immunoglobulin

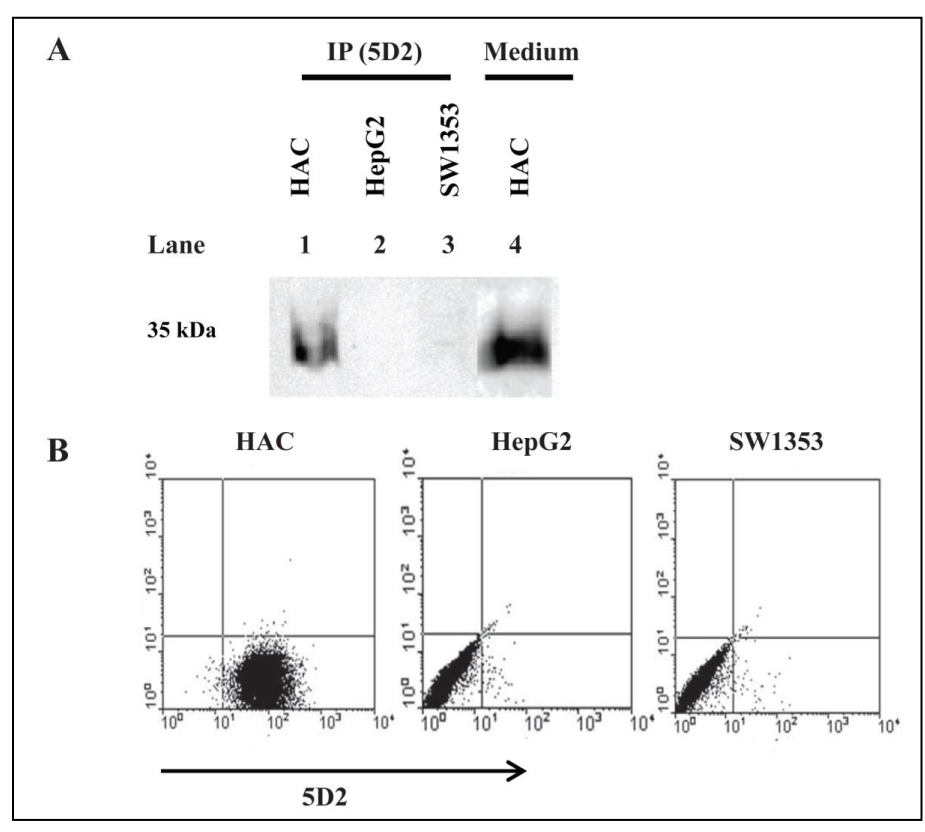
ตารางที่ 1 แสดงการแสดงออกของโมเลกุลที่ทำปฏิกิริยาจำเพาะกับ 5D2 โมโนโคลนอล แอนติบอดีในเซลล์ชนิดต่างๆ

	5D2 m	olecules
	Positive	Negative
1. Blood cells		caea
Primary cells		1
Monocyte		4
Lymphocyte		
Cell lines		1
• K562		V
• Daudi		4
• U937		
2. Bone and cartilage tissue		
Primary cells	,	
Human articular chondrocyte	ν,	
Human synovial fibroblast	1	
Cell lines		20
Chondrosarcoma (SW1353)	P	, v
Human synovial fibroblast (SW982)	¥.	
Osteoblast (hFOB1.19)	V	
3. Others	,	
Primary skin fibroblast	V	t
Hepatocellular carcinoma cell (HepG2)		Α,
Human embryonic kidney 293 cell (HEK293)		A

4. การศึกษาคุณสมบัติทางชีวเคมีของโมเลกุลที่จำเพาะกับ 5D2 โมโนโคลนอล แอนติบอดี

เพื่อที่จะยื่นยันคุณสมบัติและความจำเพาะของโมโนโคลนอลแอนติบอดี 5D2 ต่อ โมเลกุลบนผิวเซลล์

จากการศึกษาคุณสมบัติทางชีวเคมีของโมเลกุลที่จำเพาะกับ 5D2 โมโนโคลนอล แอนติบอดี โดยวิธี Immunoprecipitation โดยใช้ cell lysate ของเซลล์คอนโดรไซย์ พบว่าโมกุล บนผิวเซลล์คอนโดรไซย์ที่จำเพาะกับ 5D2 โมโนโคลนอลแอนติบอดีมีขนาดประมาณ 35 kDa โดยจากการศึกษาไม่สามารถที่จะ immunoprecipitate โมเลกุลชนิดนี้ได้จาก cell lysate ที่ได้ จากเซลล์ HepG2 และ SW 1353 ดังรูปที่ 7 นอกจากนี้ยังสามารถที่จะตรวจพบโมเลกุล 5D2 ได้จากน้ำเลี้ยงเซลล์ที่ได้มาจากการเลี้ยงเซลล์คอนโดรไซย์แสดงให้เห็นว่าโมเลกุล 5D2 สามารถ ที่จะถูกตัดหรือหลั่งออกมาจากเซลล์ได้



รูปที่ 7 แสดงการศึกษาคุณสมบัติทางชีวเคมีของโมเลกุลที่จำเพาะกับ 5D2 โมโน โคลนอลแอนติบอดี (A) ผลการศึกษาโดยวิธี western blot ที่ได้มาจากการทำ immunoprecipitation โดยใช้ 5D2 โมโนโคลนอลแอนติบอดีจาก cell lysate ของเซลล์คอนโดร ไซย์: Human articular chondrocyte (lane1), HepG2 (lane2) และ SW1353 (lane3) และ การศึกษาการแสดงออกในน้ำเลี้ยงเซลล์คอนโดรไซย์ (lane4) (B) แสดงผลการศึกษาการ แสดงออกของโมเลกุล 5D2 บนผิวเซลล์ กระดูกอ่อน, HepG2 และ เซลล์ SW1353 โดยวิธี flow cytometry

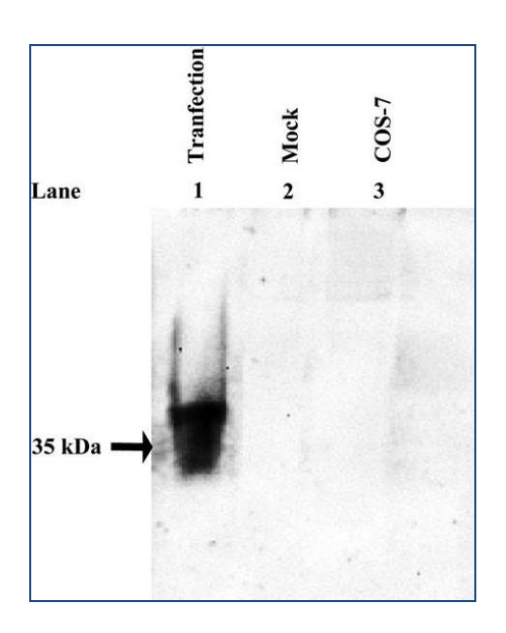
5. การศึกษาเพื่อพิสูจน์ชนิดของโมเลกุล 5D2

การศึกษาเพื่อหาชนิดของโมเลกุล 5D2 โดยใช้วิธี Mass spectrometry พบว่าโมเลกุล 5D2 มีความเหมือนกันกับโมเลกุล Thy-1 โดยเปรียบเทียบข้อมูลจาก NCBI protein database พบว่าโมเลกุล 5D2 มีความเหมือน 100 %เมื่อเทียบกับโมเลกุล Thy-1 ของมนุษย์ (AAB26353), มีความเหมือน 80% เมื่อเทียบกับ CD90 ของ Sus scrofa (CAM58077) และ มี ความเหมือน 69% เมื่อเทียบกับ CD90 ของหนู (AAR17087)

ตาราง2 ผลของการตรวจหาโมเลกุลโดยวิธี Mass spectrometry

Band		•	•	Identified	Identification	%Cov	No. of matched		MW
no.	Protein name	NCBI ID	Accession	by	scores	(MS, MS/MS)	peptides	pI	(kDa)
					(MS, MS/MS)		(MS, MS/MS)		
c1	Thy-1 (cell surface antigen)			MS, MS/MS	55, 49	31, 18	4, 2	8.96	18.17
	[Homo sapiens]	gi 339683	AAA61180						
c2	Thy-1 (cell surface antigen)	gi 339683	AAA61180	MS/MS	NA, 71	NA, 18	NA, 2	8.96	18.17
	[Homo sapiens]	8-1			,	,	, -		
c3	Thy-1 (cell surface antigen)	gi 339683	AAA61180	MS, MS/MS	63, 134	31, 18	4, 3	8.96	18.17
	[Homo sapiens]	8-1		,	,	,	.,-		
c4	Thy-1 (cell surface antigen)	gi 339683	AAA61180	MS/MS	NA, 34	NA, 8	NA, 1	8.96	18.17
	[Homo sapiens]	01			,	,	,		

เพื่อที่จะยืนยันผลจากการศึกษาโดยวิธี Mass spectrometry จึงทำการสร้าง plasmid vector ที่ชื่อ pcDNA 3.1 ให้มียืนที่กำหนดการสร้าง Thy-1 แล้วทำการ transfect เข้าสู่เซลล์ COS7 หลังจากกนั้นทำการศึกษาการแสดงออกของโมเลกุล Thy-1 ในเซลล์ COS7 โดยวิธี wester blot โดยใช้ 5D2โมโนโคลนอลแอนติบอดี จากการศึกษาสามารถยืนยันได้ว่าโมเลกุล 5D2 เป็นโมเลกุล Thy-1



รูป 8 แสดงการศึกษาโดยการ clone ยีน Thy-1 ให้มีการแสดงออกในเซลล์ COS7 และวัดการ แสดงออกของโปรตีนโดยวิธี western blot

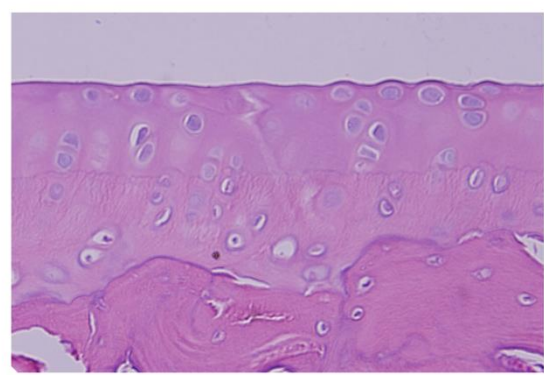
6. การศึกษาการแสดงออกของโมเลกุล Thy-1 ในโรคข้อเสื่อม

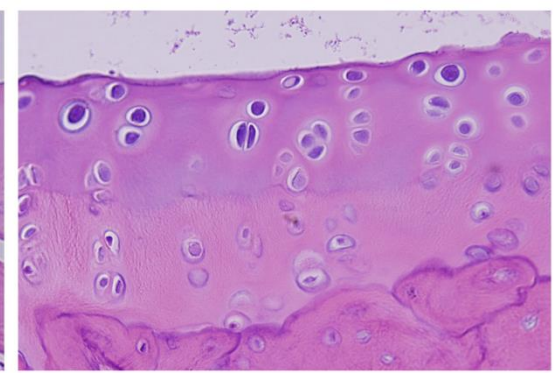
เพื่อที่จะศึกษาการแสดงออกของโมเลกุล Thy-1 ในโรคข้อเสื่อม ทางคณะผู้ทำการวิจัย ได้ใช้โมเดลของหนูขาวที่ได้รับกระตุ้นให้เป็นโรคข้อเสื่อมโดยการฉีด เอนไซม์ปาเปนที่ความ เข้มขัน 4% (w/v) ไปยังบริเวณข้อเข่าปริมาตร 20 µl จำนวน3ครั้ง โดยในแต่ละครั้งห่างกัน 3 วัน เมื่อฉีดครบแล้ว พักหนูอีก 7 วันแล้วทำการฆ่าหนูตัดเอาส่วนของกระดูกอ่อนมา fixed ด้วย 4% paraformaldehyde ข้ามคืนแล้วนำไปตัด section ให้มีความหนา 5 มิลลิเมตร เพื่อที่จะ ทำการศึกษาต่อไป

เพื่อที่จะศึกษาลักษณะของเซลล์เปรียบเทียบกันระหว่างชิ้นกระดูกที่เป็นโรคข้อเสื่อม และชิ้นกระดูกปกติ จึงทำการย้อมชิ้นกระดูกด้วยสี H&E จากการศึกษาพบว่าเซลล์คอนโดรไซย์ ในชิ้นกระดูกปกติมีการเรียงตัวที่ปกติเมื่อเทียบกับชิ้นกระดูกที่เป็นโรคข้อเสื่อมที่การเรียงตัวของ เซลล์คอนโดรไซย์มีลักษณะเกาะกลุ่มกันซึ่งเป็นลักษณะอย่างหนึ่งที่พบได้ในโรคข้อเสื่อมดังรูป

Normal cartilage

OA rat cartilage





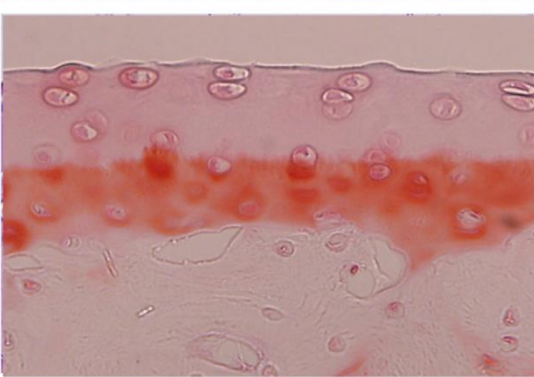
รูป 9 แสดงการย้อมชิ้นกระดูกด้วยสี H&E เปรียบเทียบกันระหว่างชิ้นกระดูกปกติและชิ้นกระดูก ที่เป็นโรคข้อเสื่อม

เพื่อที่จะศึกษาลักษณะการเสื่อมสลายของข้อเปรียบเทียบกันระหว่างชิ้นกระดูกที่เป็น โรคข้อเสื่อมและชิ้นกระดูกปกติ จึงทำการย้อมชิ้นกระดูกด้วยสี Saflanin O เพื่อที่จะศึกษา ปริมาณของโปรตีโอไกลแคนในชิ้นกระดูก พบว่าชิ้นกระดูกที่เป็นโรคข้อเสื่อมมีการสลายไปของ สารในกลุ่มโปรตีโอไกลแคนเมื่อเทียบกับชิ้นกระดูกปกติ

Normal cartilage

OA rat cartilage



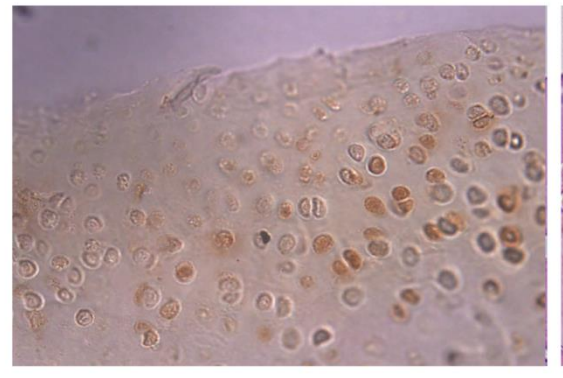


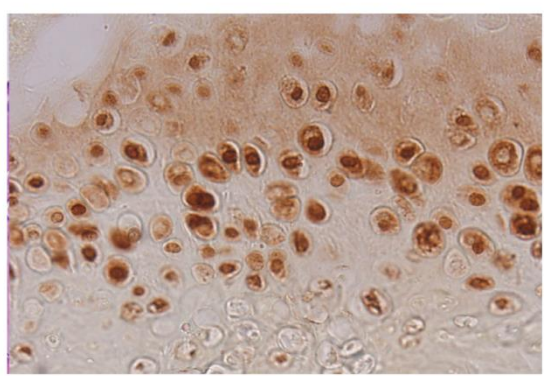
รูป 10 แสดงการย้อมชิ้นกระดูกด้วยสี Saflanin O เปรียบเทียบกันระหว่างชิ้นกระดูกปกติและ ชิ้นกระดูกที่เป็นโรคข้อเสื่อม

เพื่อที่จะศึกษาการแสดงออกของโมเลกุล Thy-1 เปรียบเทียบกันระหว่างชิ้นกระดูกที่ เป็นโรคข้อเสื่อมและชิ้นกระดูกปกติ ทำการย้อมชิ้นกระดูกโดยใช้ 5D2 โมโนโคลนอลแอนติบอดี ด้วยวิธี Immunohistochemistry จากการศึกษาพบว่าชิ้นกระดูกที่เป็นโรคข้อเสื่อมเซลล์คอนโดร ไซย์มีการแสดงออกที่เพิ่มสูงชึ้นของโมเลกุล Thy-1 เมื่อเทียบกับเซลล์คอนโดรไซย์ในชิ้นกระดูก ปกติ

Normal cartilage

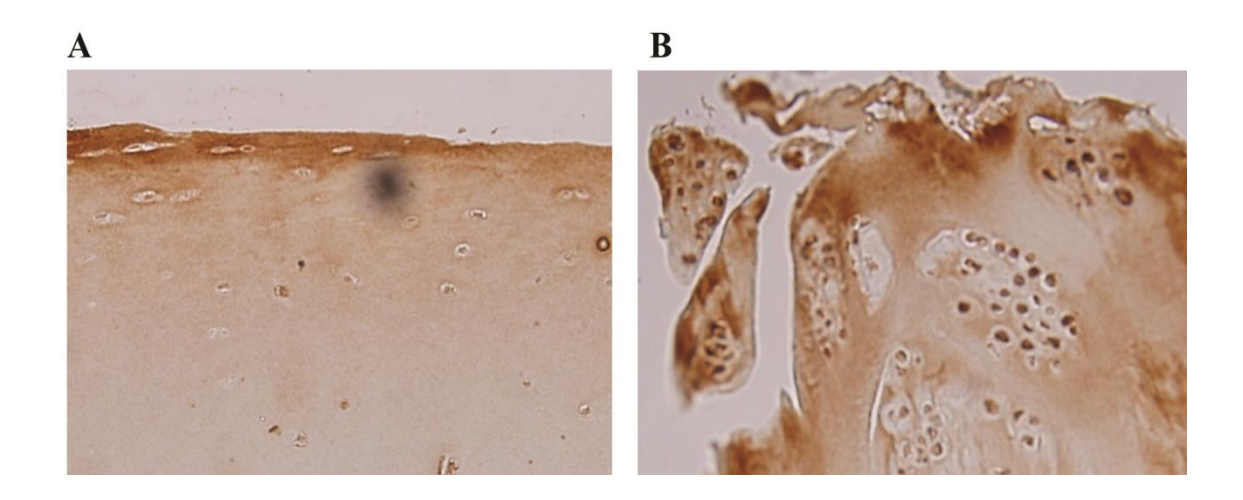
OA rat cartilage





รูป 11 แสดงการศึกษาการแสดงออกของโมเลกุล Thy-1 เปรียบเทียบกันระหว่างชิ้นกระดูกปกติ และชิ้นกระดูกที่เป็นโรคข้อเสื่อมในหนู

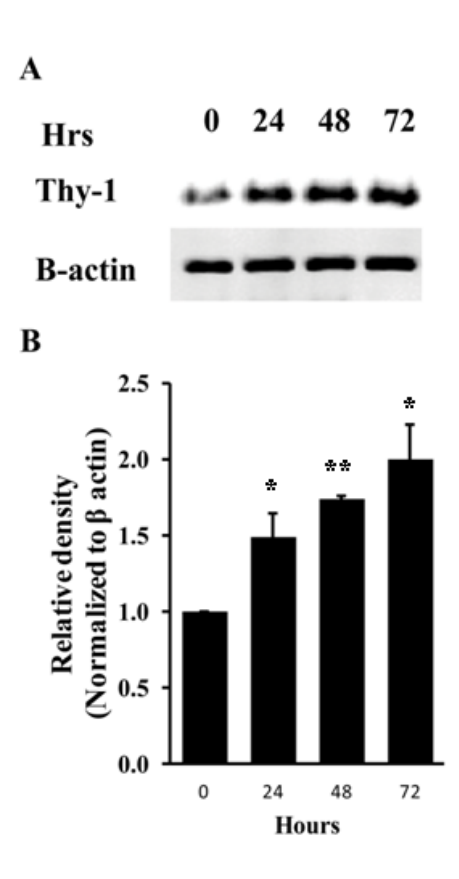
เพื่อที่จะยืนยันผลการแสดงออกที่เพิ่มสูงขึ้นของโมเลกุล Thy-1 ในโรคข้อเสื่อมที่ได้จาก โมเดลของหนูขาว จึงทำการศึกษาการแสดงออกของโมเลกุล Thy-1 ในชิ้นกระดูกมนุษย์ที่เป็น โรคข้อเสื่อมโดยวิธี Immunohistochemistry จากการศึกษาพบว่าชิ้นกระดูกอ่อนที่เป็นโรคข้อ เสื่อมมีสภาพการทำลายของบริเวณชิ้นผิวกระดูกโดยเซลล์คอนโดรไซย์มีการเกาะกลุ่มกันและมี การแสดงออกที่เพิ่มสูงขึ้นของโมเลกุล Thy-1 เมื่อเทียบกับชิ้นกระดูกอ่อนปกติ



รูป 12 แสดงการศึกษาการแสดงออกของโมเลกุล Thy-1 เปรียบเทียบกันระหว่างชิ้นกระดูกปกติ (A) และชิ้นกระดูกที่เป็นโรคข้อเสื่อม (B) ของมนุษย์

7. การศึกษาการแสดงออกของโมเลกุล Thy-1 ในเซลล์คอนโดรไซย์เมื่อถูกกระตุ้นด้วย Interleukin-1β

เนื่องจากไซโตไคน์ที่มีความเกี่ยวข้องกับกระบวนการอักเสบมีบทบาทสำคัญต่อการก่อ โรคข้อเสื่อม ทางคณะผู้วิจัยจึงได้ทำการศึกษาผลของ Interleukin-1 $oldsymbol{eta}$ ต่อการแสดงออกของ โมเลกุล Thy-1 ในเซลล์คอนโดรไซย์มนุษย์ ที่ระยะเวลาต่างๆ จากการศึกษาพบว่าการ แสดงออกของ Thy-1 มีการแสดงออกที่เพิ่มสูงขึ้นภายหลังจากการกระตุ้นด้วย Interleukin-1 $oldsymbol{eta}$ ซึ่งแสดงให้เห็นว่าโมเลกุล Thy-1 ที่มีการแสดงออกในโรคข้อเสื่อมเกิดเนื่องจากเซลล์คอนโดร ไซย์ถูกกระตุ้นด้วย Interleukin-1 $oldsymbol{eta}$



รูปที่ 13 การแสดงออกของโมเลกุล Thy-1เซลล์คอนโดรไซย์มนุษย์ หลังการกระตุ้นด้วย interleukin-1 $oldsymbol{eta}$ ในระยะเวลาต่างๆ แล้วทำการสกัดโปรตีนภายในเซลล์ และศึกษาการ แสดงออกของ Thy-1 ด้วยวิธี western blot (A) โดยความเข้มของแบนด์ Thy-1 ที่ normalize ด้วย $oldsymbol{eta}$ -actin แสดงในรูป B กราฟแสดง mean \pm SD. *, p < 0.05; **, p < 0.01.

สรุปและวิจารณ์ผลการทดลอง

ในการศึกษาครั้งนี้ ทำการผลิตโมโนโคลนอลแอนติบอดีต่อโมเลกุลบนผิวเซลล์คอนโดร ไซย์มนุษย์ โดยโมโนโคลนอลชนิดนี้มีชื่อว่า 5D2 mAb ซึ่งมีความจำเพาะเจาะจงกับโปรตีนที่มี ขนาด 25-35 KDa ที่พบมีการแสดงออกในเซลล์หลายชนิด เช่น เซลล์คอนโดรไซย์, เซลล์เยื่อบุ ข้อ, เซลล์สร้างกระดูก และ เซลล์ผิวหนัง โดยการวิเคราะห์ใช้เทคนิค mass spectrometryพบว่า โมเลกุลชนิดนี้คือ Thy-1

เป็นโมเลกุลที่มีขนาด 25-37 KDa เป็นโปรตีนบนผิวเซลล์จัดอยู่ใน Thy-1 immunoglobulin-like supergene family (1) พบครั้งแรกเป็นโมเลกุลที่เกี่ยวข้องกับการควบคุม พบมีการแสดงออกในเซลล์หลายหลายชนิดได้แก่ differentiation ในหนู (2) fibroblasts, endothelial cells, neurons, และ chondrocytes หน้าที่ของ Thy-1 พบว่ามีความ เกี่ยวข้องกับกระบวนการ T cell activation (3, 4), neurite outgrowth (5), apoptosis (6, 7), และ tumor suppression (8) ในข้อพบมีการแสดงออกในเซลล์คอนโดรไซย์, เซลล์เยื่อบุข้อ, และ mesenchymal progenitor/stem cells หน้าที่ของ Thy-1 ที่มีการแสดงออกในข้อยังไม่เป็นที่ ทราบแน่ชัด มีรายงานพบว่าการแสดงออกของโมเลกุล Thy-1 มีความสัมพันธ์กับ chondrogenic potential โดยพบว่าเซลล์คอนโดรไซย์ที่มี chondrogenic potential ที่สูงจะมีการ แสดงออกของ Thy-1 ที่ต่ำ (9) นอกจากนี้ยังพบว่าโมเลกุล Thy-1 มีการแสดงออกที่เพิ่มสูงขึ้น ในระหว่างการเลี้ยงเซลล์คอนโดรไซย์แบบ monolayer culture ซึ่งการเลี้ยงเซลล์ในสภาวะเช่นนี้ ทำให้เซลล์คอนโดรไซย์อยู่ในภาวะ dedifferentiation (9) มีการศึกษาพบว่า interleukin-1 $oldsymbol{\beta}$ สามารถที่จะกระตุ้นเซลล์คอนโดรไซย์เข้าสู่ภาวะ dedifferentiation ด้วยการไปลดการสร้าง collagen type II (10-12) ซึ่งจากสาเหตุเหล่านี้นำไปสู่การพัฒนาไปเป็นโรคข้อเข่าเสื่อม โดย การศึกษาในหลอดทดลองพบว่าไซโตไคน์ที่เกี่ยวข้องกับกระบวนการอักเสบ เช่น interleukin-1β และ tumor necrosis factor-α สามารถกระตุ้นให้ endothelial cells มีการแสดงออกที่เพิ่ม สูงขึ้นของ โมเลกุล Thy-1 ได้ (13, 14) ในการศึกษาในครั้งนี้ทางคณะผู้วิจัยพบว่า interleukin-1β สามารถกระตุ้นให้เซลล์คอนโดรไซย์มีการแสดงออกที่เพิ่มสูงขึ้นของโมเลกุล Thy-1 โดยใน โรคข้อเสื่อม เซลล์คอนโดรไซย์จะถูกกระตุ้นทำให้มีการสร้างไซโตไคน์ที่เกี่ยวข้องกับกระบวน การอักเสบออกมา คือ interleukin-1 $oldsymbol{eta}$ และ tumor necrosis factor- $oldsymbol{lpha}$ จากการศึกษาในครั้งนี้ได้ มีการศึกษาถึงการแสดงออกของโมเลกุล Thy-1 ในโรคข้อเสื่อมพบว่า หนูขาวที่ถูกกระตุ้นให้ เป็นโรคข้อเสื่อมมีการแสดงออกที่เพิ่มสูงขึ้นของโมเลกุล Thy-1 เมื่อเปรียบเทียบกับกลุ่มควบคุม ซึ่งได้ทำการยืนยันผลที่ได้โดยศึกษาในชิ้นกระดูกอ่อนมนุษย์ที่เป็นโรคข้อเสื่อมพบมีการ แสดงออกของโมเลกุล Thy-1 เพิ่มขึ้น จากผลการทดลองเหล่านี้จึงกล่าวได้ว่า โมเลกุล Thy-1 มี การแสดงออกที่สูงขึ้นในโรคข้อเสื่อม

ข้อเสนอสำหรับงานวิจัยในอนาคต

เนื่องจากในการศึกษาครั้งนี้ทำการศึกษาการแสดงออกของโมเลกุล Thy-1 ในชิ้นกระดูก อ่อนพบมีการแสดงออกที่เพิ่มสูงขึ้นและเนื่องจากโมเลกุล Thy-1 มีความสามารถที่จะถูกหลัง ออกมาสู่ระบบไหลเวียนเลือดได้จึงมีความเป็นไปได้ที่จะศึกษาการแสดงออกของโมเลกุล Thy-1 ในโรคข้อเสื่อมโดยการใช้ตัวอย่างจาก synovial fluid หรือ ซีรัมของผู้ป่วยมาวินิจฉัยโดยวิธี ELISA

References

- Williams, A.F. 1985. Immunoglobulin-related domains for cell surface recognition. *Nature*, 314:579-580.
- 2. Reif, A.E. and Allen, J.M. 1964. The Akr Thymic Antigen and Its Distribution in Leukemias and Nervous Tissues. *J Exp Med,* 120:413-433.
- Marmor, M.D., Bachmann, M.F., Ohashi, P.S., Malek, T.R., and Julius, M. 1999.
 Immobilization of glycosylphosphatidylinositol-anchored proteins inhibits T cell growth but not function. *Int Immunol*, 11:1381-1393.
- Marmor, M.D. and Julius, M. 2000. The function of GPI-anchored proteins in T cell development, activation and regulation of homeostasis. *J Biol Regul Homeost Agents*, 14:99-115.
- Doherty, P., Singh, A., Rimon, G., Bolsover, S.R., and Walsh, F.S. 1993. Thy-1 antibody-triggered neurite outgrowth requires an influx of calcium into neurons via N- and L-type calcium channels. *J Cell Biol*, 122:181-189.
- Fujita, N., Kodama, N., Kato, Y., Lee, S.H., and Tsuruo, T. 1997. Aggregation of Thy-1 glycoprotein induces thymocyte apoptosis through activation of CPP32like proteases. *Exp Cell Res*, 232:400-406.
- 7. Morita, H., Isobe, K., Cai, Z., Miyazaki, T., Matsumoto, Y., Shinzato, T., Yoshikai, Y., Kimata, K., and Maeda, K. 1996. Thy-1 antigen mediates apoptosis of rat glomerular cells in vitro and in vivo. *Nephron*, 73:293-298.
- 8. Lung, H.L., Bangarusamy, D.K., Xie, D., Cheung, A.K., Cheng, Y., Kumaran, M.K., Miller, L., Liu, E.T., Guan, X.Y., Sham, J.S., Fang, Y., Li, L., Wang, N., Protopopov, A.I., Zabarovsky, E.R., Tsao, S.W., Stanbridge, E.J., and Lung, M.L. 2005. THY1 is a candidate tumour suppressor gene with decreased expression in metastatic nasopharyngeal carcinoma. *Oncogene*, 24:6525-6532.

- Giovannini, S., Diaz-Romero, J., Aigner, T., Mainil-Varlet, P., and Nesic, D. Population doublings and percentage of S100-positive cells as predictors of in vitro chondrogenicity of expanded human articular chondrocytes. *J Cell Physiol*, 222:411-420.
- 10. Sandell, L.J. and Aigner, T. 2001. Articular cartilage and changes in arthritis. An introduction: cell biology of osteoarthritis. *Arthritis Res,* 3:107-113.
- Hong, E.H., Yun, H.S., Kim, J., Um, H.D., Lee, K.H., Kang, C.M., Lee, S.J., Chun, J.S., and Hwang, S.G. Nicotinamide phosphoribosyltransferase is essential for interleukin-1beta-mediated dedifferentiation of articular chondrocytes via SIRT1 and extracellular signal-regulated kinase (ERK) complex signaling. *J Biol Chem*, 286:28619-28631.
- 12. Peng, H., Zhou, J.L., Liu, S.Q., Hu, Q.J., Ming, J.H., and Qiu, B. Hyaluronic acid inhibits nitric oxide-induced apoptosis and dedifferentiation of articular chondrocytes in vitro. *Inflamm Res*, 59:519-530.
- Lee, W.S., Jain, M.K., Arkonac, B.M., Zhang, D., Shaw, S.Y., Kashiki, S., Maemura, K., Lee, S.L., Hollenberg, N.K., Lee, M.E., and Haber, E. 1998. Thy-1, a novel marker for angiogenesis upregulated by inflammatory cytokines. *Circ Res*, 82:845-851.
- 14. Mason, J.C., Yarwood, H., Tarnok, A., Sugars, K., Harrison, A.A., Robinson, P.J., and Haskard, D.O. 1996. Human Thy-1 is cytokine-inducible on vascular endothelial cells and is a signaling molecule regulated by protein kinase C. *J Immunol.* 157:874-883.

Output จากโครงการวิจัยที่ได้รับทุนจาก สกว.

1. ผลงานตีพิมพ์ในวารสารวิชาการนานาชาติ

Chanmee T, Phothacharoen P, Thongboonkerd V, Kasinrerk W, Kongtawelert P. Characterization of monoclonal antibodies against a human chondrocyte surface antigen. Monoclon Antib Immunodiagn Immunother. 2013; 32(3):180-6.

2. การนำผลงานวิจัยไปใช้ประโยชน์

- เชิงพาณิชย์ : สามารถนำไปประยุกต์ทางด้านงานวิจัยพื้นฐานและประยุกต์เพื่อ การวินิจฉัยโรคต่าง ๆ
- เชิงวิชาการ : มีการพัฒนาใช้ ผลผลิตคือ monoclonal antibody 5D2 เพื่อ งานวิจัยด้านอื่นที่มี นศ. บัณฑิตเป็นหลัก ทำให้เกิดนักวิจัยรุ่นเยาว์อีกเป็น จำนวนมาก
- 3. อื่นๆ: ได้มีการประเมินการยื่นจดสิทธบัตร แต่ได้รับการปฏิเสธ จากหน่วยงาน อย่างไรก็ตาม น่าจะนำไปใช้จดสิทธิบัตรต่อไปเมื่อมีการนำไปประยุกต์ใช้เพื่อเป็น ชุดน้ำยาสำเร็จรูป เพื่อการวินิจฉัยโรค

Volume 32, Number 3, 2013 © Mary Ann Liebert, Inc. DOI: 10.1089/mab.2012.0079

Characterization of Monoclonal Antibodies Against a Human Chondrocyte Surface Antigen

Theerawut Chanmee, Peraphan Phothacharoen, Visith Thongboonkerd, Watchara Kasinrerk, and Prachya Kongtawelert

Chondrocytes express a number of cell-surface molecules that mediate cell-cell or cell-matrix interactions. Identification and full characterization of new chondrocyte surface molecules will lead to a better understanding of the function of the chondrocyte. Researchers used primary human chondrocytes as an immunogen, and various monoclonal antibodies (MAbs) were generated using standard hybridoma technology. A monoclonal antibody named 5D2 was selected for further characterization. The antigen recognized by 5D2 MAb is expressed by primary human chondrocytes, primary synovial fibroblasts, synovial fibroblast cell lines (SW982), primary skin fibroblasts, and osteoblasts, but not expressed in blood cells. Biochemical analysis revealed that the 5D2 antigen is a protein with a molecular weight of approximately 25-35 kDa. Protein identification by mass spectrometry and molecular cloning revealed that 5D2 antigen is identical to the Thy-1 molecule. Furthermore we confirmed this specificity of the antibody by the isolated and cloned Thy-1 gene to the COS-7 and probed it with the 5D2 antibody using Western blot analysis. We examined the role of the Thy-1 molecule in arthritis models and tissue; one was papain-induced rat arthritis, the other was immunohistological staining of osteoarthritic (OA) human articular cartilage. OA cartilage showed a higher expression of Thy-1 as compared with normal tissue in all experimental approaches. The *in vitro* studies showed that the inflammatory cytokine interleukin-1β up-regulated Thy-1 molecule expression in the cartilage tissue. It can be concluded that the Thy-1 might be a potential biomarker for cartilage pathogenesis, degradation, and metabolic turnover.

Introduction

THE CHONDROCYTE IS THE ONLY CELL TYPE found in articular cartilage, which synthesizes and secretes extracellular matrix (ECM) molecules such as collagens, polysaccharides, and proteoglycans to ECM. The major degenerative pathology associated with joint and cartilage, which affects the chondrocyte, is arthritis. Arthritis can be subdivided into two major classes: rheumatoid arthritis (RA) and osteoarthritis (OA).

Osteoarthritis (OA) is a group of chronic, painful, disabling conditions affecting articular joints, which occurs from various risk factors such as aging, obesity, and trauma. (2–4) The initial stage of inflammation plays a major role in cartilage degradation leading to osteoarthritis, especially the released interleukin-1 β (IL-1 β) and tumor necrosis factor alpha (TNF- α). These cytokines act in an autocrine manner, stimulating their own production and inducing chondrocytes to produce proteases, chemokines, nitric oxide, and eicosanoids to drive catabolic pathways, inhibit matrix synthesis, and promote cellular apoptosis. (2)

Chondrocytes regulate the balance between anabolism and catabolism of the extracellular matrix. An alteration in the

protein expression pattern of these cells can influence the normal matrix homeostasis. The identification of differentially expressed proteins can help us identify new markers in OA progression and better understand the underlying disease processes.

We have produced monoclonal antibodies (MAb) against chondrocyte surface molecules for use as a research tool and biomarker for cartilage degradation. One of these is considering the practical applications of MAb 5D2. This paper reports (1) the biochemical characterization and cloning of the chondrocyte surface molecule that is recognized by this antibody and (2) its expression level in normal and OA cartilage.

Materials and Methods

Cell culture

Human articular cartilage was obtained (with full informed patient consent) from the arthroscopic diagnosis of a flat pad syndrome patient at Maharaj Nakorn Chiang Mai Hospital (Department of Orthopedics, Faculty of Medicine, Chiang Mai University, Thailand [approval code 070CT111016]). Chondrocytes were isolated by overnight trypsin digestion at

¹Thailand Excellence Center for Tissue Engineering and Stem Cells, Department of Biochemistry, Faculty of Medicine; ³Department of Clinical Immunology, Faculty of Associate Medical Science, Chiang Mai University, Chiang Mai, Thailand.

²Medical Proteomics Unit, Office for Research and Development, Faculty of Medicine, Siriraj Hospital, Mahidol University, Bangkoknoi, Bangkok, Thailand.

4°C and a subsequent 3 h digestion with collagenase (type IA, Sigma-Aldrich, St. Louis, MO) at 37°C. The cells were washed with PBS and then cultured in DMEM containing 10% FCS as high-density primary monolayer cultures until confluence. Cells were passaged after becoming confluent using 0.05% trypsin/0.02% EDTA.

Generation of monoclonal antibodies against chondrocyte surface antigen

The BALB/c mouse was immunized intraperitoneally three times at 2-week intervals with primary human chondrocyte (1×10^7 cells). Spleen cells were isolated and fused with mouse myeloma P3-X63Ag8.653 cells by standard hybridoma fusion techniques using 50% polyethylene glycol and HAT medium selection. The immunoglobulin isotype of the MAb was determined using an isotyping ELISA kit (Sigma-Aldrich).

Flow cytometric analysis

Human chondrocytes, human synovial fibroblasts, human skin fibroblasts, lymphocytes, monocytes, chondrosarcoma cell lines, SW-982, Daudi, U937, K562, hFOB 1.19, and HepG2 cells were pre-incubated at 4°C for 30 min with 10% human AB serum. Thereafter 5×10^5 cells were stained with 5D2 culture supernatant at 4°C for 30 min. After washing twice with 1%BSA-PBS, the binding of antibody was detected by using FITC-conjugated anti-mouse immunoglobulin antibodies. Cells were incubated with conjugate at 4°C for 30 min. Then, cells were washed three times with 1% BSA-PBS and analyzed by flow cytometer.

Labeling of cells and immunoprecipitation

The primary human chondrocytes were washed with PBS. The cells $(1-5\times10^7 \text{ cells/mL})$ were incubated with 5 mM sulfo-NHS-LC-Biotin at 4°C for 1h. The biotinylation was quenched by washing once with 1 mM glycine in PBS first and twice with PBS. Then, labeled cells (1×10^7) were solubilized in 1 mL lysis buffer (5 mM iodoacetamide, protease inhibitor, 1% NP-40, Tris HCl [pH 8.2]) at 4°C for 30 min. The lysate was collected by centrifugation at 10,000 g, at 4°C for 20 min. The lysate was mixed with the 5D2 MAb coated CNBr Sepharose beads at 4°C overnight. After immunoprecipitation and SDS-PAGE, biotinylated proteins were transferred to nitrocellulose membrane. The membrane was treated with 5% skim milk in TBS containing 0.05% Tween-20 (TBST) followed by incubation with 5D2 MAb in TBST and subsequent incubation with horseradish peroxidase-conjugated secondary antibody (1:2000 dilution; Amersham Biosciences, Piscataway, NJ) in TBST. The protein was visualized using the enhanced chemiluminescence plus detection system.

Purification and sequencing of 5D2 antigen

Primary human chondrocyte cell lysate was incubated with cyanogen bromide-activated Sepharose coupled with MAb 5D2 overnight at 4°C. After extensive washing with PBS, the bound proteins were eluted with 1x sample buffer (10% glycerol, 1% SDS, 0.1% bromphenol blue, and 0.0625 M Tris-HCl [pH 6.8]). The eluted fractions containing the corresponding MAb 5D2 antigen (determined by immunoblotting) were pooled and separated by SDS-PAGE. The visualized

protein bands were excised, washed twice with 200 μL of 50% acetonitrile (ACN)/25 mM NH₄HCO₃ buffer (pH 8.0) at room temperature (RT) for 15 min, and then washed once with 200 μL of 100% ACN. After washing, the samples were extracted and digested with trypsin. Trypsin fragmentation products were analyzed by the Q-TOF Ultima TM mass spectrometer (Micromass, Manchester, United Kingdom). Peptide sequences were compared using the MASCOT search tool.

Molecular cloning of 5D2 molecule

The total mRNA was isolated from the primary human chondrocyte. Thy-1 cDNA was generated by reverse transcription from the isolated mRNA, and the amount of cDNA was increased by RT-PCR. Thy-1 cDNA was cloned into pcDNA3.1 plasmid by using BamH1 and EcoR1 adaptors. The cDNA encoding Thy-1 was transfected to COS-7 cells by using a transfection reagent. $1-3\times10^5$ cells were plated in 35 mm dish, and then added with 1 μ g of DNA to GeneJuice reagent/ serum-free medium mixture by adding the entire volume of mixture drop-wise to cells in the complete growth medium. The transfection mixture was removed after 2–8 h of incubation and replaced with complete growth medium. After 48 h of cultivation, cells were harvested and the expression of the Thy-1 molecule was detected by indirect immunofluorescence and analyzed by a flow cytometer.

Papain-induced arthritis

Three Wistar rats were injected with a 4% (w/v) papain saline solution into the right knee of each rat on days 1, 4, and 7 of the experimental period. Seven days after the last injection of papain, the animals were sacrificed. The cartilage samples were removed from the tibial plateau in the right knee. The samples were fixed in 4% paraformaldehyde overnight and embedded, then cut into 10 μm thick segments. Some sections were stained with hematoxylin and eosin (H&E) and Safranin O. Animal usage conformed with international and national guidelines for ethical conduct on the care and use of animals.

Immunohistochemical analysis

The expression of Thy-1 was studied during papain-induced OA. The papain model is characterized by a proteoglycan depletion of the articular cartilage. After being deparaffinized, the sections were incubated for 15 min with Chondroitinase ABC and then incubated for 10 min in 3% $\rm H_2O_2$. After blocking with 3% bovine serum albumin in phosphate-buffered saline (PBS), sections were incubated overnight with the monoclonal antibody. Each slide was stained with sheep anti-mouse IgM (μ chain specific) peroxidase conjugated for 1 h. The color was developed using diaminobenzidine substrate.

Interleukin-1β induced human articular chondrocyte culture

To determine the expression of Thy-1 protein in cultured human chondrocytes, a Western blot analysis was performed. After the cells had grown to 80% confluence, cells were serum starved for 24 h before stimulation with the inflammatory cytokine interleukin-1 β (IL-1 β , 10 ng/mL). Cells were collected at 0, 24, 48, 72, and 96 h after treatment. The cell lysate was analyzed on 12% SDS-PAGE and transferred to a

182 CHANMEE ET AL.

Table 1. Flow Cytometry Surface Expression of 5D2 Antigen on Various Cell Types Obtained by Flow Cytometry

Primary cell Chondrocyte Synovial fibroblast Skin fibroblast Lymphocyte Monocyte	+ + + -
Cell lines	
Chondrosarcoma (SW1353)	-
SW 982	+
Daudi	-
U937	-
K562	-
hFOB 1.19	+
HepG2	_

⁺ , Markers staining positive in more than 98% of cells; - , markers expressed in less than 2% of cells.

nitrocellulose membrane. The membrane was treated with 5% skim milk in TBST containing 0.05% TBST, followed by incubation with the 5D2 MAb in TBST and subsequent incubation with horseradish peroxidase-conjugated secondary antibody (dilution, 1:2000; Amersham Biosciences) in TBST.

The expression of Thy-1 protein was visualized using the enhanced chemiluminescence plus detection system.

Results

Cellular distribution of 5D2 antigen

We characterized the molecule recognized by 5D2 MAb on various cell types, including human chondrocytes, human synovial fibroblasts, human skin fibroblasts, lymphocytes, monocytes, chondrosarcoma cell lines, SW-982, Daudi, U937, K562, hFOB 1.19, and HepG2 (Table 1) by the indirect immunofluorescence method. All peripheral blood mononuclear cells and hematopoietic cell lines, including lymphocytes, monocytes, Daudi, U937, and K562, were negative stained with 5D2 MAb. The analysis of cells, which were found in bones and joints including primary human chondrocytes, primary synovial fibroblasts, synovial fibroblast cell lines (SW982), and osteoblast cell lines (hFOB1.19), was strongly positive stained with 5D2 MAb. Its expression was also found in primary skin fibroblasts. On the other hand, neither chondrosarcoma cell lines (SW1353) nor HepG2 cells were recognized. These results indicated that 5D2 antigen is expressed in the cells associated with bones and joints, including human chondrocytes, synovial fibroblasts, and osteoblast cells.

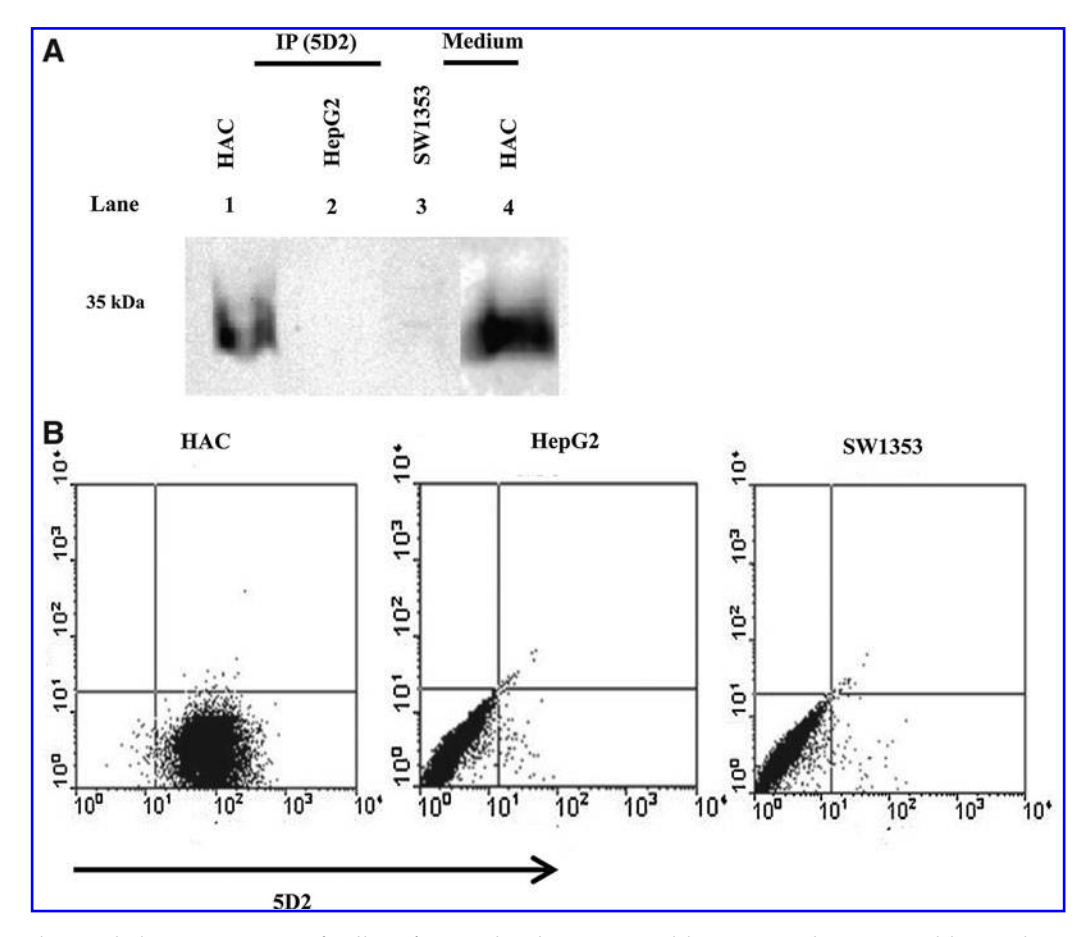


FIG. 1. Biochemical characterization of cell surface molecule recognized by 5D2 MAb. Western blot analysis of immuno-precipitates obtained with either 5D2 MAb from lysates of surface biotin-labeled HAC (lane 1), HepG2 (lane 2), and SW1353 (lane 3). (A) The culture media of HAC was subjected to Western blot analysis using 5D2 MAb (lane 4). (B) Flow cytometric analysis of 5D2 molecule expression on HAC, HepG2, and SW1353.

Table 2. Mass Spectrometric Identification of 5D2 Molecule

		1 1777			IOIN OF OUR INFOED				
Band no.	Protein name	NCBI ID	Accession no.	Identified by	Identification scores (MS, MS/MS)	%Cov (MS, MS/MS)	No. of matched peptides (MS, MS/MS)	$I^{\mathbf{d}}$	MW (kDa)
c1	Thy-1 (cell surface antigen) [Homo sapiens]	gi 339683	AAA61180	MS, MS/MS	55, 49	31, 18	4, 2	8.96	18.17
c2	Thy-1 (cell surface antigen) [Homo sapiens]	gi 339683	AAA61180	MS/MS	NA, 71	NA, 18	NA, 2	8.96	18.17
63	Thy-1 (cell surface antigen) [Homo sapiens]	gi 339683	AAA61180	MS, MS/MS	63, 134	31, 18	4,3	8.96	18.17
c4	Thy-1 (cell surface antigen) [Homo sapiens]	gi 339683	AAA61180	MS/MS	NA, 34	NA, 8	NA, 1	8.96	18.17

NCBI, National Center for Biotechnology Information; %Cov, % sequence coverage [(no. of matched residues/total no. of residues in entire sequence)×100%]; NA, not applicable. Thy-1=100% identities with 5E10 antigen [Homo sapiens] gi|13195770 (AAB26353). Thy-1=80% identities with CD90 protein [Sus scrofa] gi|224697007 (CAM58077). Thy-1=69% identities with CD90.1 [Mus musculus] gi|38325830 (AAR17087).

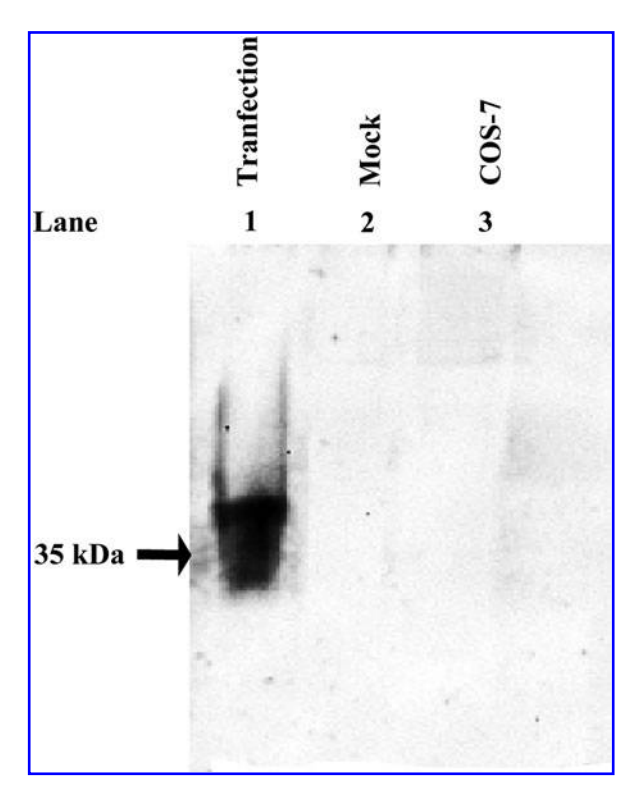


FIG. 2. Molecular cloning of Thy-1 molecule in COS-7 cell. Expression construct for Thy-1 or mock expression vector (pcDNA3.1) was used to transfect COS-7 cells. After 48 h of transfection, cells were harvested. Western blotting utilized primary antibody to Thy-1 followed by HRP-conjugated secondary antibody and enhanced chemiluminescense for visualization of Thy-1 molecule.

Biochemical characterization of surface molecule recognized by 5D2 MAb

Biochemical studies were performed to characterize the molecule that is recognized by 5D2 MAb using an immuno-precipitation technique. As shown in Figure 1, researchers were able to precipitate a 35 kDa protein from the lysates of surface-biotinylated primary human chondrocytes using 5D2 MAb coupled with cyanogen bromide-activated Sepharose, whereas the antibody did not bind to any protein in cell lysates of HepG2 and SW1353 cell lines (Fig. 1A). These results were confirmed by flow cytometric analysis (Fig. 1B). Furthermore, it was found that the 5D2 molecule can be detected in the culture medium of primary human chondrocytes (Fig. 1A, lane 4).

Mass spectrometric identification of 5D2 molecule

The analysis of 5D2 molecule by mass spectrometry revealed that the 5D2 molecule was significantly matched with Thy-1. Sequence homology search in the NCBI protein database revealed that Thy-1 is 100% identical to the 5D2 antigen [Homo sapiens] (gi|13195770) (AAB26353); 80% identical with the CD90 protein [Sus scrofa] (gi|224697007) (CAM58077); and 69% identical with the CD90.1 [Mus musculus] (gi|38325830) (AAR17087) (Table 2).

To confirm the identification of 5D2 molecule in which the structure has been revealed by mass spectrometry, the cDNA of Thy-1 was inserted via EcoRI and BamHI into the 184 CHANMEE ET AL.

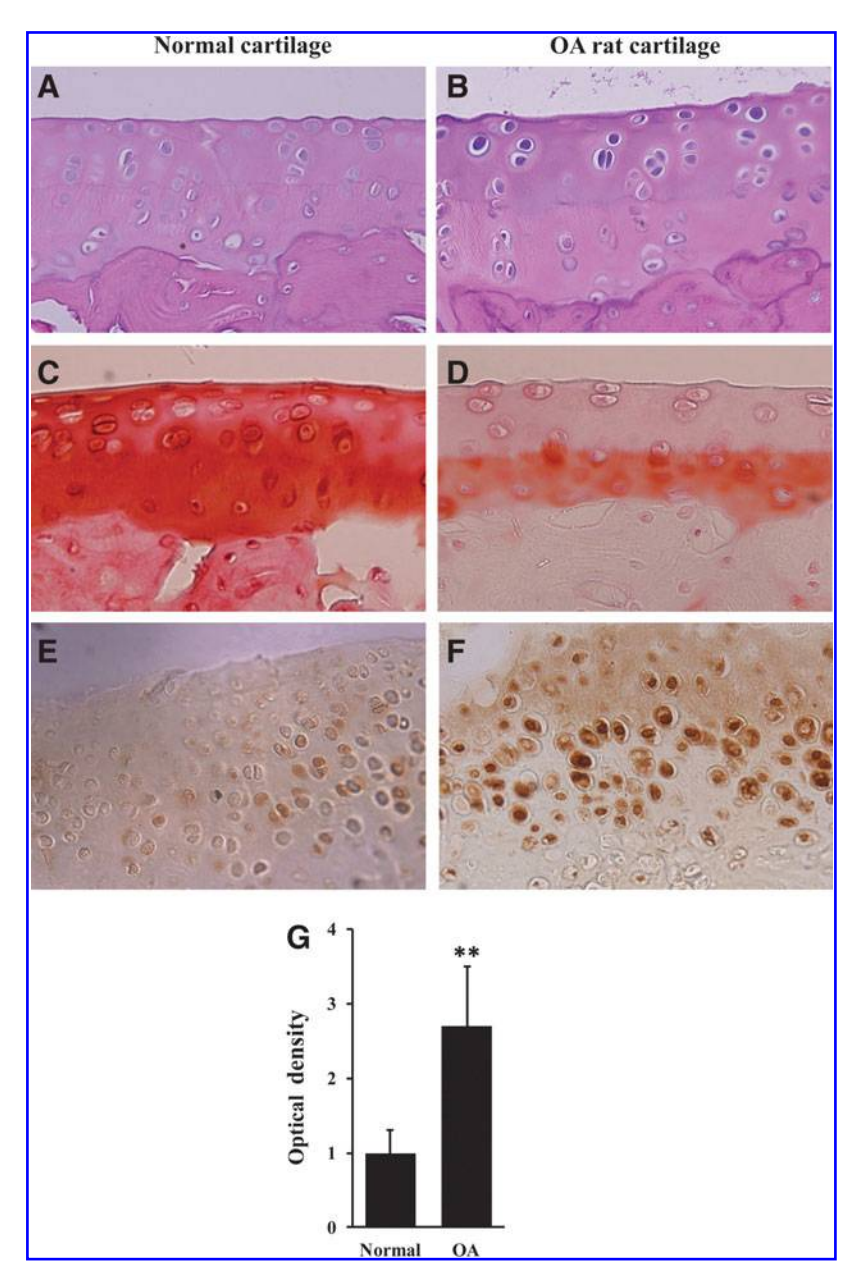


FIG. 3. Histologic analysis of papain-induced osteoarthritis in the knee joints of Wistar rats. Right knee joints were injected with papain solution. The non-injected left knee joints served as internal controls. Sections of articular cartilage from the knee joints of control or OA rats were stained with H&E to visualize cell morphology (\mathbf{A} , \mathbf{B}) and stained with Safranin O to detect proteoglycans (\mathbf{C} , \mathbf{D}). Expression of Thy-1 molecule was examined by immunohistochemistry (\mathbf{E} , \mathbf{F}). H&E staining in normal knee joint (\mathbf{A}) and after papain injection (\mathbf{B}). Safranin O staining in normal knee joint (\mathbf{C}) and after papain injection (\mathbf{D}). Thy-1 expression in normal knee joint (\mathbf{E}) and after papain injection (\mathbf{F}). Average optical density of reaction products was tested by image analysis (\mathbf{G}). Statistical significance, **p<0.01.

pcDNA3.1 vector and transfected into the COS7 cells, which were subsequently tested for binding of the 5D2 MAb. The transfected COS7 cells expressed Thy-1 molecule, which was observed by Western blot analysis (Fig. 2), demonstrating that the 5D2 antigen is indeed a determinant of the Thy-1 molecule.

Expression of Thy-1 in osteoarthritis

The Thy-1 expression was investigated in the rat model of experimental arthritis using papain-induced arthritis by immunohistological staining. It was found that cartilage in the control rat had a normal chondrocyte structure, showing an intact surface and typical staining of the matrix with Safranin O (Fig. 3A,C). This contrasts with the OA group, which showed marked morphologic changes and the loss of matrix components (Fig. 3B,D). A further investigation of the Thy-1 expression in normal and OA rat cartilage by immunohistochemistry used MAb 5D2, and it was found that the expression of Thy-1 was significantly higher in OA than in normal cartilage (Fig. 3E–G).

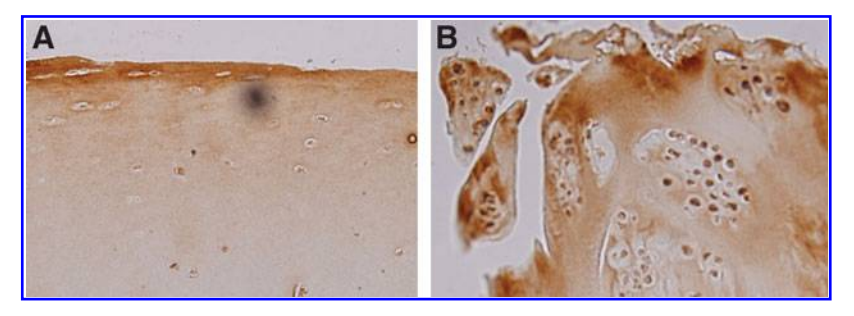


FIG. 4. Thy-1 expression on human normal (A) and osteoarthritic cartilage (B). Normal and osteoarthritic cartilage sections were stained with 5D2 MAb, which detected the stained antibody by using sheep anti-mouse IgM (μ chain specific) peroxidase conjugated. The color was developed using diaminobenzidine substrate.

Researchers further assessed the expression pattern and determined the precise immunolocalization of Thy-1 in normal and OA human articular cartilage tissue samples. It was found that there was a complete loss of cartilage and chondrocyte aggregation in arthritic lesions in OA samples. In OA tissue samples, clusters of chondrocytes showed strong im-

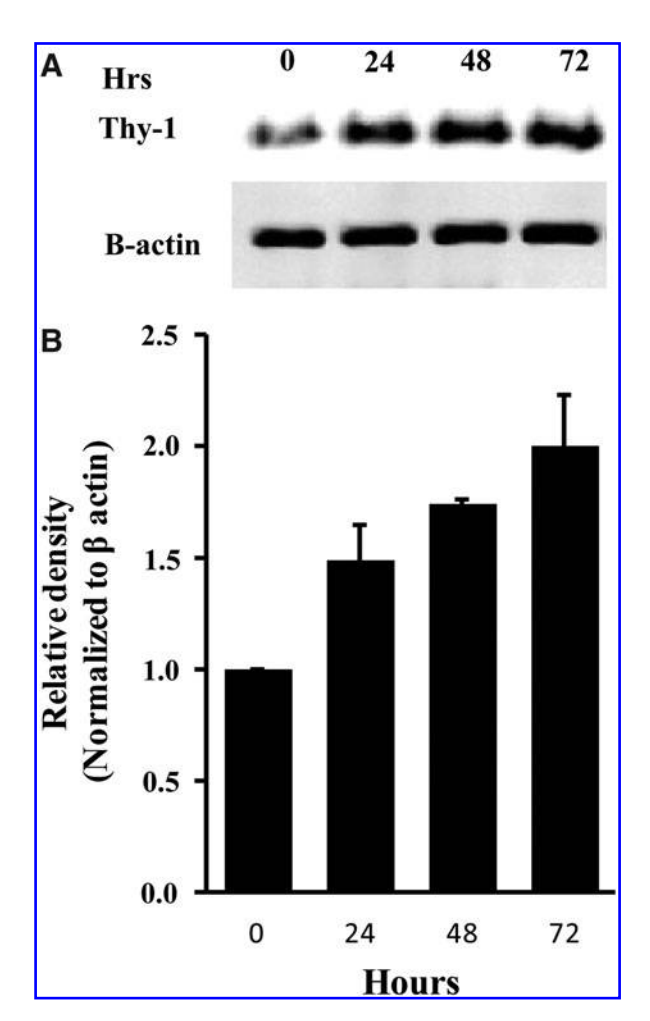


FIG. 5. Expression of Thy-1 protein in cultured human primary chondrocytes. Cells were serum starved for 24 h and incubated with the inflammatory cytokine interleukin-1β (IL-1β, 10 ng/mL). Cells were lysed with sample buffer at 0, 24, 48, and 72 h after treatment. (A) Western blot analysis was performed with 5D2 MAb. (B) Densitometric analysis of Thy-1 expression.

munoreactivity with 5D2 antibody compared with normal cartilage (Fig. 4).

Because a number of inflammatory cytokines play an important role in osteoarthritis, we then studied the effect of IL-1 β on Thy-1 expression in a human articular chondrocyte culture. It was found that there was an increased Thy-1 expression in the cell lysate at 24h after treatment with the cytokine interleukin-1 β (Fig. 5), which was demonstrated by the Western blotting technique.

Discussion

In the present study, monoclonal antibodies were produced against the primary human chondrocyte surface antigen. A MAb named 5D2 was selected for further characterization. It was found that 5D2 antigen was a 25–35 kDa protein that is expressed in many cell types, including chondrocyte, synovial fibroblast, osteoblast, and skin fibroblast. By using a mass spectrometry analysis and cloning system, it was proven that the 5D2 antigen was a determinant on the Thy-1 molecule.

Thy-1 is a 25-37 kDa GPI-anchored cell surface protein that belongs to the immunoglobulin-like supergene family⁽⁶⁾ originally described as a marker for thymocyte differentiation in mice. (7) Thy-1 was subsequently found to be expressed in various cell types, including fibroblasts, endothelial cells, neurons, and chondrocytes. Thy-1 has been reported to function in T cell activation, (8,9) neurite outgrowth, (10) apoptosis, (11,12) and tumor suppression. (13) In joint tissue, Thy-1 is also expressed by synovial fibroblast, chondrocyte, and mesenchymal progenitor/stem cells. (14) The precise biological function of Thy-1 in joint tissue is not clear. It has been reported that the expression of Thy-1 in chondrocyte was correlated with its chondrogenic potential. The chondrocyte with higher chondrogenic potential showed the lack of Thy-1 expression. (15) Interestingly, the expression of Thy-1 was increased during monolayer culture, which referred as dedifferentiation of the chondrocyte. (15) There is increasing evidence that interleukin-1ß induced chondrocyte dedifferentiation by reducing type II collagen expression. (5,16,17) This event played an important role in OA development.

In an *in vitro* study, the inflammatory cytokines interleukin- 1β and tumor necrosis factor- α up-regulated Thy-1 expression in vascular endothelial cells. $^{(18,19)}$ In the present study, we found that interleukin- 1β induced Thy-1 expression in human chondrocytes. This demonstrated that Thy-1 was up-regulated in human chondrocyte cells in response to interleukin- 1β .

186 CHANMEE ET AL.

In OA, the production of pro-inflammatory cytokines, such as IL-1 β and TNF- α , are increased by articular chondrocytes. The current study was designed to study the expression of Thy-1 in OA disease. The expression of Thy-1 was studied in papain-injected rat joints and compared with normal knee joints using immunohistochemical methods. It was found that in the cartilage of normal knee joints hardly any expression of Thy-1 was observed. After injection of papain, the expression of Thy-1 was enhanced. Similar results were observed in human osteoarthritis cartilage. This result indicated that Thy-1 was increased in OA, which was the outcome of the inflammation cascade. Secreted forms of Thy-1 (sThy-1) have been found to be significantly elevated in synovial fluid of patients with RA. (20) Synovial fluid contains cytokines, matrix degradation products, enzymes, and other factors. The expression of sThy-1 may be induced or enhanced under these conditions and the membranebound Thy-1 is shed or cleaved from the cell surface to the synovial fluid.

In summary, the up-regulation of Thy-1 by the inflammatory cytokine interleukin1- β in articular chondrocytes and the increase of Thy-1 in two experimental arthritis conditions, including papain-induced rat arthritis and osteoarthritic human cartilage, suggest that Thy-1 may be a good marker for investigating OA disease.

Acknowledgments

The authors would like to acknowledge the following: the RGJ doctorate program (PHD/0258/2549) for scholarship support (TJ); the Thailand Research Fund (BRG 5180012) (PK); the Thailand Research Fund (RTA5380005); the Office of the Higher Education Commission and Mahidol University under the National Research Universities Initiative (VT); and the NSTDA Research Chair Grant, National Sciences and Technology Development Agency (WK).

Author Disclosure Statement

The authors have no financial interests to disclose.

References

- 1. Archer CW, and Francis-West P: The chondrocyte. Int J Biochem Cell Biol 2003;35:401–404.
- 2. Bonnet CS, and Walsh DA: Osteoarthritis, angiogenesis and inflammation. Rheumatology 2005;44:7–16.
- Loeser RF: Molecular mechanisms of cartilage destruction: mechanics, inflammatory mediators, and aging collide. Arthritis Rheum 2006;54:1357–1360.
- 4. Martel-Pelletier J, and Pelletier JP: Is osteoarthritis a disease involving only cartilage or other articular tissues? Eklem Hastalik Cerrahisi 2010;21:2–14.
- Sandell LJ, and Aigner T: Articular cartilage and changes in arthritis. An introduction: cell biology of osteoarthritis. Arthritis Res 2001;3:107–113.
- Williams AF: Immunoglobulin-related domains for cell surface recognition. Nature 1985;314:579–580.
- Reif AE, and Allen JM: The Akr thymus antigen and its distribution in leukemias and nervous tissues. J Exp Med 1964;120:413–433.
- Marmor MD, Bachmann MF, Ohashi PS, Malek TR, and Julius M: Immobilization of glycosylphosphatidylinositolanchored proteins inhibits T cell growth but not function. Int Immunol 1999;11:1381–1393.

 Marmor MD, and Julius M: The function of GPI-anchored proteins in T cell development, activation and regulation of homeostasis. J Biol Regul Homeost Agents 2000;14:99–115.

- Doherty P, Singh A, Rimon G, Bolsover SR, and Walsh FS: Thy-1 antibody-triggered neurite outgrowth requires an influx of calcium into neurons via N- and L-type calcium channels. J Cell Biol 1993;122:181–189.
- 11. Fujita N, Kodama N, Kato Y, Lee SH, and Tsuruo T: Aggregation of Thy-1 glycoprotein induces thymocyte apoptosis through activation of CPP32-like proteases. Exp Cell Res 1997;232:400–406.
- Morita H, Isobe K, Cai Z, Miyazaki T, Matsumoto Y, Shinzato T, Yoshikai Y, Kimata K, and Maeda K: Thy-1 antigen mediates apoptosis of rat glomerular cells in vitro and in vivo. Nephron 1996;73:293–298.
- 13. Lung HL, Bangarusamy DK, Xie D, Cheung AK, Cheng Y, Kumaran MK, Miller L, Liu ET, Guan XY, Sham JS, Fang Y, Li L, Wang N, Protopopov AI, Zabarovsky ER, Tsao SW, Stanbridge EJ, and Lung ML: THY1 is a candidate tumour suppressor gene with decreased expression in metastatic nasopharyngeal carcinoma. Oncogene 2005;24:6525–6532.
- Campbell DD, and Pei M: Surface markers for chondrogenic determination: a highlight of synovium-derived stem cells. Cells 2012;1:1107–1120.
- 15. Giovannini S, Diaz-Romero J, Aigner T, Mainil-Varlet P, and Nesic D: Population doublings and percentage of S100-positive cells as predictors of in vitro chondrogenicity of expanded human articular chondrocytes. J Cell Physiol 2010;222:411–420.
- Hong EH, Yun HS, Kim J, Um HD, Lee KH, Kang CM, Lee SJ, Chun JS, and Hwang SG: Nicotinamide phosphoribosyltransferase is essential for interleukin-1beta-mediated dedifferentiation of articular chondrocytes via SIRT1 and extracellular signal-regulated kinase (ERK) complex signaling. J Biol Chem 2011;286:28619–28631.
- Peng H, Zhou JL, Liu SQ, Hu QJ, Ming JH, and Qiu B: Hyaluronic acid inhibits nitric oxide-induced apoptosis and dedifferentiation of articular chondrocytes in vitro. Inflamm Res 2010;59:519–530.
- 18. Lee WS, Jain MK, Arkonac, BM, Zhang, D, Shaw, SY, Kashiki, S, Maemura K, Lee SL, Hollenberg NK, Lee ME, and Haber E: Thy-1, a novel marker for angiogenesis upregulated by inflammatory cytokines. Circ Res 1998;82:845–851.
- Mason JC, Yarwood H, Tarnok A, Sugars K, Harrison AA, Robinson PJ, and Haskard DO: Human Thy-1 is cytokine-inducible on vascular endothelial cells and is a signaling molecule regulated by protein kinase C. J Immunol 1996;157:874–883.
- 20. Saalbach A, Wetzig T, Haustein UF, and Anderegg U: Detection of human soluble Thy-1 in serum by ELISA. Fibroblasts and activated endothelial cells are a possible source of soluble Thy-1 in serum. Cell Tissue Res 1999;298:307–315.

E-mail: prachya.kongtawelert@gmail.com

Received: September 6, 2012 Accepted: January 24, 2013